

第Ⅱ編 津波の予測および被害想定

第Ⅱ編 津波の予測および被害想定

1. 波源の設定

図 1-1,2

4

図 1-3

表 1-1

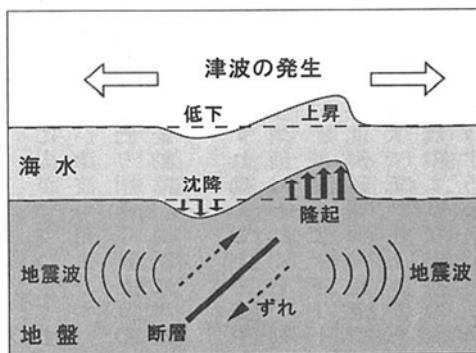


図 1-1 地震による津波発生模式図
「津波から生き残る、平成 21 年、土木学会」より

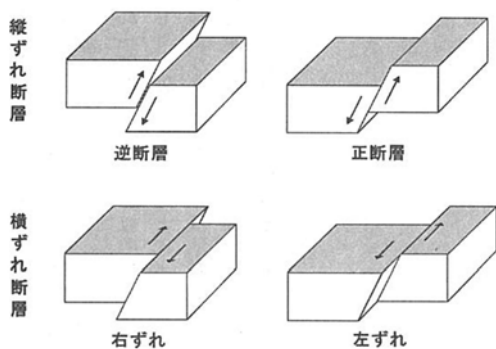


図 1-2 断層の動きの種類
「津波から生き残る、平成 21 年、土木学会」より

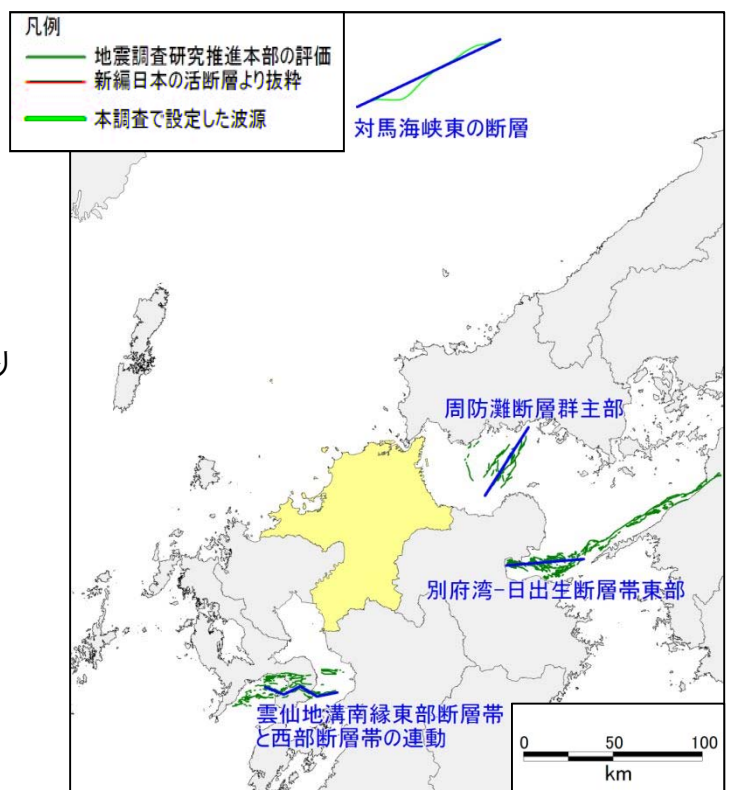
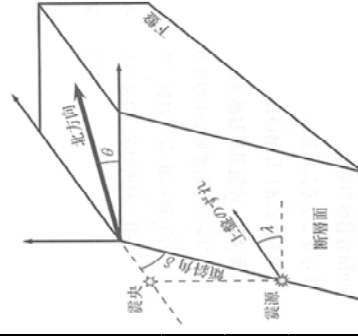


図 1-3 対象とした波源位置

表 1-1 対象とした断層パラメータ一覧表

		東京湾・豊津				有明海				固防灘				
FIAT	Lat ()	deg	35.94	1991	32.70	32.68	32.73	32.69	2004				34.01	33.33
FLOL	Lon ()	deg	131.48		130.50	130.38	130.28	130.18					131.64	131.51
FIAT		deg	240.0		260.0	298.0	242.0	286.0					212.6	85.6
FLEN	L	km	85.0		50.0								44.5	43.0
FWD ()	W	km	20.0	2010	10.3								15.0	15.0
														15km
														15km/sin
FDEP	Depth	km	0.0	21	0.0	0.0	0.0	0.0	21				0.0	0.0
FDT		deg	60°		75	75	75	75	2006				90	90
														90°
FRMD		deg	-90		-90	-90	-90	-90					150	-90
														30°
FDS	U	m	6.75	$\log M_0=0.6M + 4.0$ (, 1975)	2.44	2.44	2.87	2.87	$M_0 \mu$ ULW μ 3.4(MPa)				3.70	3.58
	M_0	Nm	1.37E+20	$\log M_0=1.5M_0+9.1$, 1977	4.68E+19								8.64E+19	8.07E+19
	M_w		7.40	$M_w=1.08 + 0.78^*M$ (, 1990)	7.10				$\log M_0=1.5M_0+9.1$, 1977				7.22	7.20
	M_j		8.05	$\log M_0=0.6M_j - 2.9$ (, 1975)	7.66				$\log M_0=0.6M_j - 2.9$ (, 1975)				7.58	7.56
			2010	21	2006									
					0km									



震源断層の模式図

1791年におきた眉山の山体崩壊による津波では、福岡県で大した被害がなかったことから、山体崩壊による津波が生じた場合は津波高があまり大きくならないと予想される。

第Ⅱ編 津波の予測および被害想定

23
22
23
23
23
16 4 ()
17 3
(20 3 413)
24

第Ⅱ編 津波の予測および被害想定

2.1 既存資料の収集整理

図 2-1

5m 10m

HP 2

HP 3

HP 4

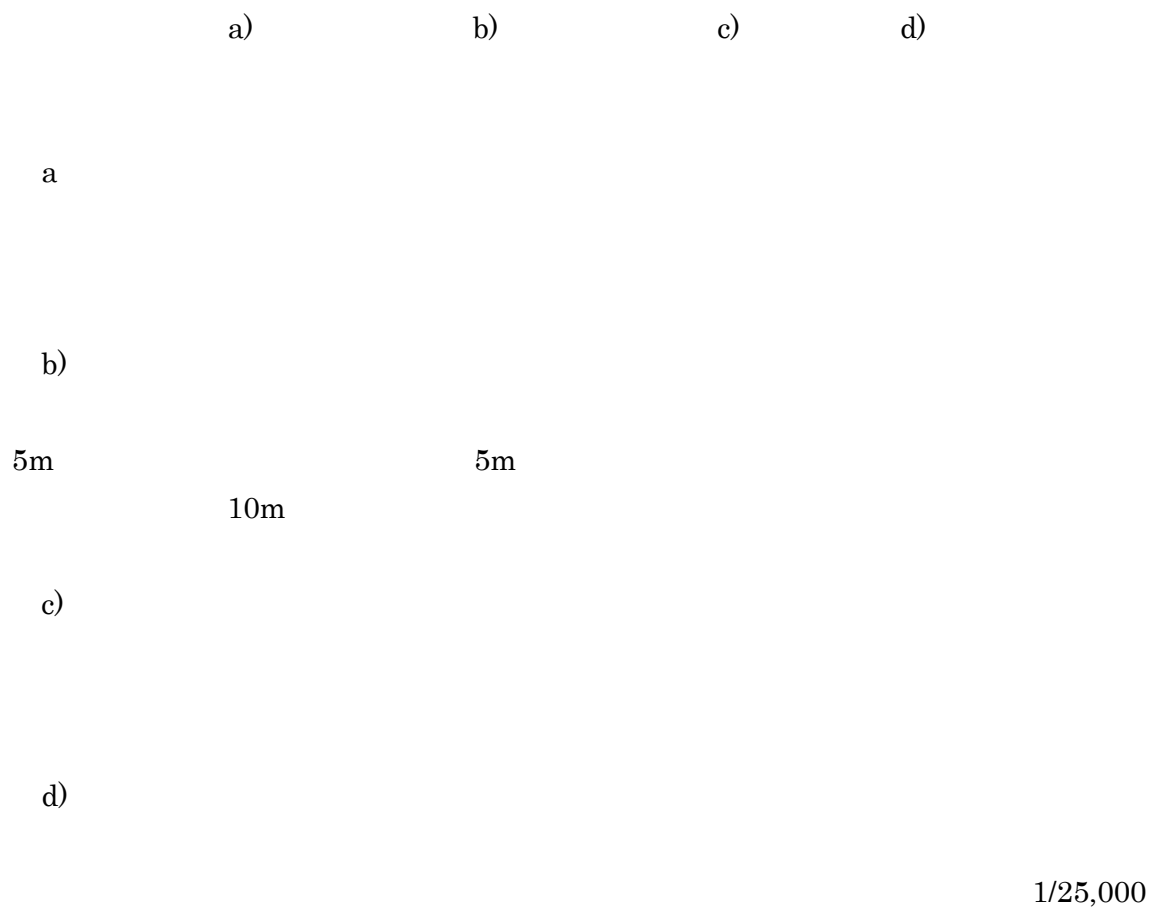
2 HP <http://www.data.kishou.go.jp/db/tide/suisan/index.pHP>

3

4

2.2 地形モデルの作成

図 2.2-1



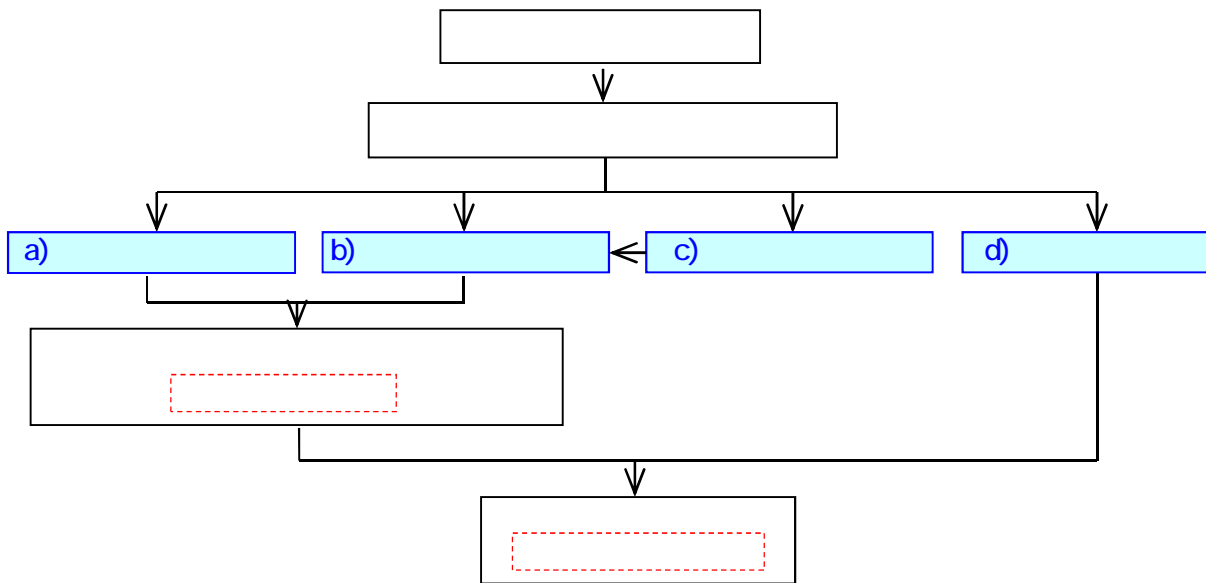


図 2.2-1 地形モデルの作成フロー

5

6

図 2.2-2

5

6

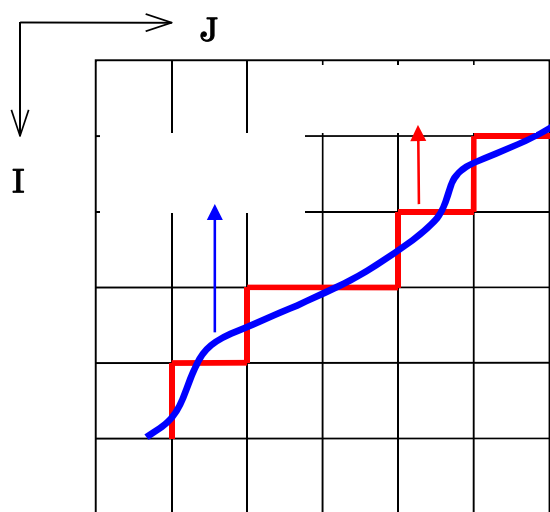


図 2.2-2(1) 地形や堤防等施設のメッシュデータのイメージ(平面)

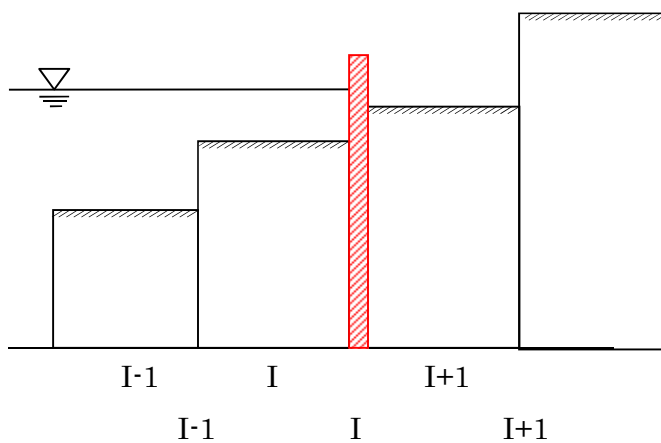


図 2.2-2(2) 地形や堤防等施設のメッシュデータのイメージ(断面)

6

図 2.2-3,4、表 2.2-1

2430 m 810 m 270 m 90 m 30 m 10 m

表 2.2-2

第Ⅱ編 津波の予測および被害想定

表 2.2-1 計算における計算領域の組み合わせ

計算ケース No.	エリアNo					
	10mメッシュ	30mメッシュ	90mメッシュ	270mメッシュ	810mメッシュ	2430mメッシュ
1	0010-01	0030-01	0090-01	0270-01	0810-01	2430-01
2	0010-02					
3	0010-03					
4	0010-04	0030-02				
5	0010-05					
6	0010-06	0030-03	0090-02			
7	0010-07					
8	0010-08					
9	0010-09					
10	0010-10					
11	0010-11	0030-04	0090-03			
12	0010-12					
13	0010-13					
14	0010-14					
15	0010-15	0030-05				
16	0010-16					
17	0010-17					
18	0010-18					
19	0010-19	0030-06				
20	0010-20					
21	0010-21					
22	0010-22	0030-07	0090-04	0270-02		
23	0010-23					
24	0010-24					

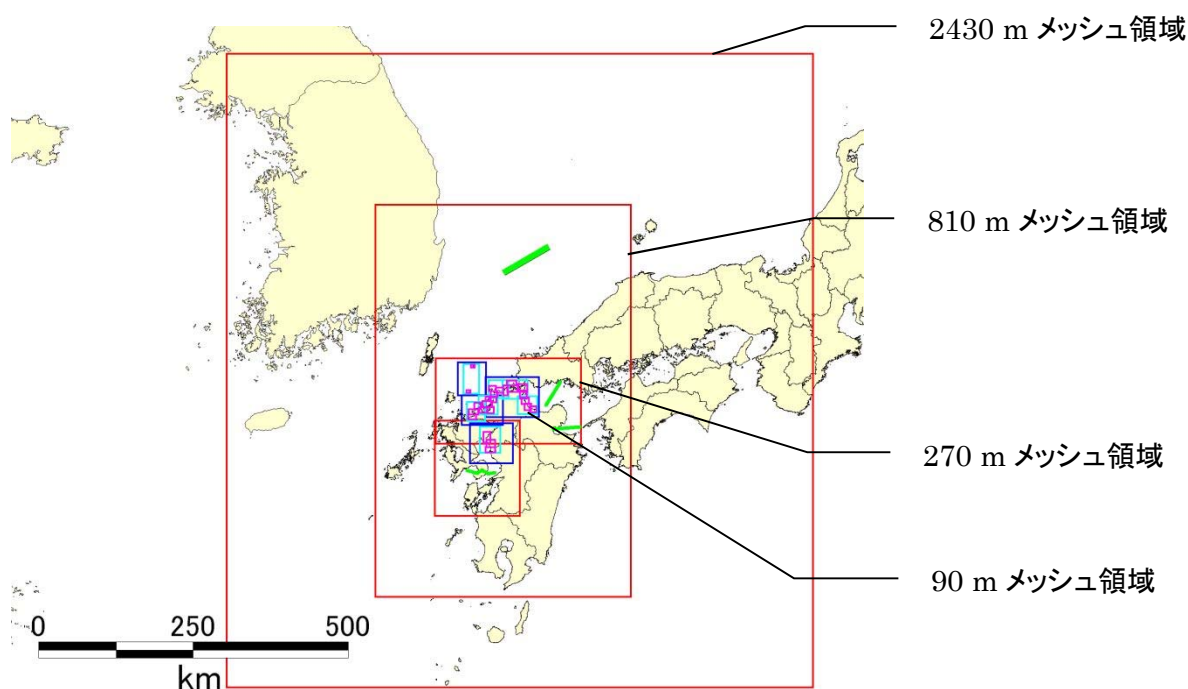


図 2.2-3 津波数値計算のメッシュ領域位置図:90~2430 m メッシュ領域

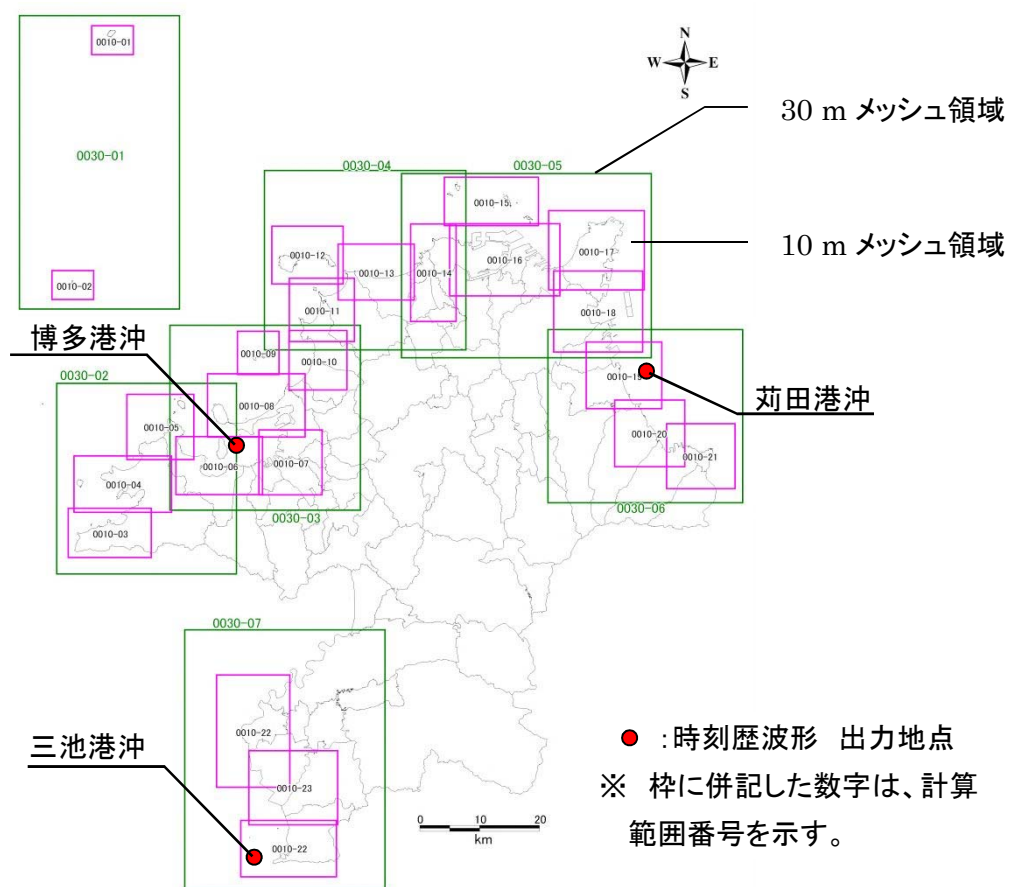


図 2.2-4 津波数値計算のメッシュ領域位置図: 10~30 m メッシュおよび時刻歴波形の出力地点

第Ⅱ編 津波の予測および被害想定

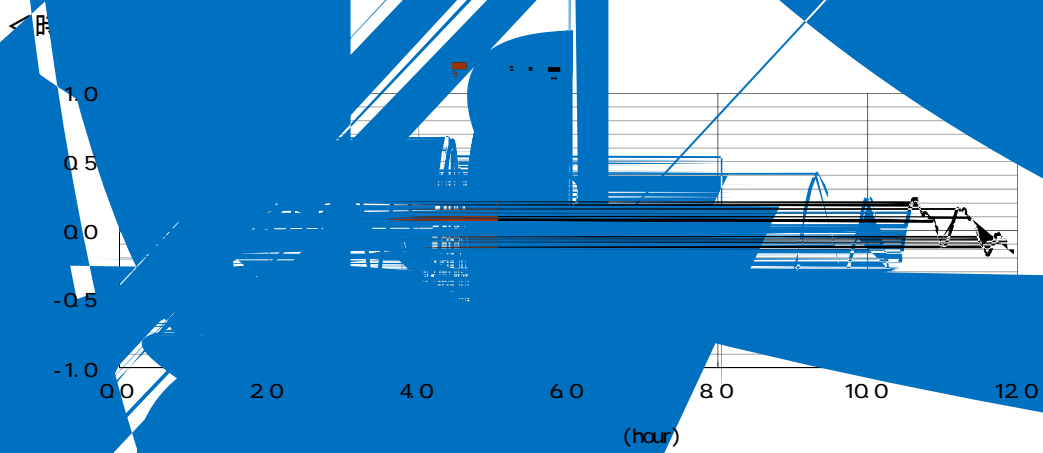
表 2.2-2 各計算領域の位置座標およびメッシュ数

エリアNo.	メッシュサイズ(m)	南西端の位置		北東端の位置		メッシュ個数		領域のサイズ	
		X座標(m)	Y座標(m)	X座標(m)	Y座標(m)	X方向(個)	Y方向(個)	X方向(m)	Y方向(m)
0810-01	810	-239,430	-234,200	173,670	397,600	510	780	413,100	631,800
0270-01	270	-142,230	12,040	92,670	149,740	870	510	234,900	137,700
0270-02	270	-143,850	-103,790	-6,150	50,110	510	570	137,700	153,900
0090-01	90	-106,590	90,070	-60,690	144,070	510	600	45,900	54,000
0090-02	90	-100,380	42,280	-32,880	90,880	750	540	67,500	48,600
0090-03	90	-61,770	54,970	24,630	119,770	960	720	86,400	64,800
0090-04	90	-87,150	-19,280	-16,950	45,520	780	720	70,200	64,800
0030-01	30	-97,500	92,680	-71,400	141,280	870	1,620	26,100	48,600
0030-02	30	-91,920	48,580	-62,220	80,080	990	1,050	29,700	31,500
0030-03	30	-73,020	59,020	-41,520	89,620	1,050	1,020	31,500	30,600
0030-04	30	-57,180	85,570	-23,880	115,270	1,110	990	33,300	29,700
0030-05	30	-34,500	84,130	6,900	114,730	1,380	1,020	41,400	30,600
0030-06	30	-10,290	60,010	22,110	88,810	1,080	960	32,400	28,800
0030-07	30	-70,950	-4,250	-37,650	38,950	1,110	1,440	33,300	43,200
0010-01	10	-85,590	134,860	-78,690	139,660	690	480	6,900	4,800
0010-02	10	-92,520	94,210	-85,620	99,010	690	480	6,900	4,800
0010-03	10	-90,210	51,310	-76,410	59,410	1,380	810	13,800	8,100
0010-04	10	-89,160	58,780	-72,960	68,080	1,620	930	16,200	9,300
0010-05	10	-80,280	67,510	-69,180	78,310	1,110	1,080	11,100	10,800
0010-06	10	-72,180	61,600	-57,780	71,200	1,440	960	14,400	9,600
0010-07	10	-58,380	61,450	-47,880	72,250	1,050	1,080	10,500	10,800
0010-08	10	-66,870	71,110	-50,670	81,610	1,620	1,050	16,200	10,500
0010-09	10	-61,830	81,490	-54,930	88,690	690	720	6,900	7,200
0010-10	10	-53,250	78,850	-43,650	88,750	960	990	9,600	9,900
0010-11	10	-53,190	86,920	-42,390	97,420	1,080	1,050	10,800	10,500
0010-12	10	-56,010	96,520	-44,210	106,120	1,180	960	11,800	9,600
0010-13	10	-45,030	93,790	-32,430	103,090	1,260	930	12,600	9,300
0010-14	10	-33,000	90,190	-25,500	106,390	750	1,620	7,500	16,200
0010-15	10	-27,390	106,060	-11,790	114,160	1,560	810	15,600	8,100
0010-16	10	-26,550	94,390	-8,250	106,390	1,830	1,200	18,300	12,000
0010-17	10	-10,140	95,380	5,760	108,580	1,590	1,320	15,900	13,200
0010-18	10	-9,300	85,030	5,500	98,530	1,480	1,350	14,800	13,500
0010-19	10	-3,930	75,640	8,670	86,740	1,260	1,110	12,600	11,100
0010-20	10	810	65,980	12,510	77,080	1,170	1,110	11,700	11,100
0010-21	10	9,450	62,350	20,850	73,150	1,140	1,080	11,400	10,800
0010-22	10	-65,700	12,910	-53,500	31,510	1,220	1,860	12,200	18,600
0010-23	10	-60,360	6,610	-45,560	18,910	1,480	1,230	14,800	12,300
0010-24	10	-61,800	-2,000	-45,800	7,300	1,600	930	16,000	9,300

m 図 2.2-4 10 m 10
24

図2.2-4

3-1



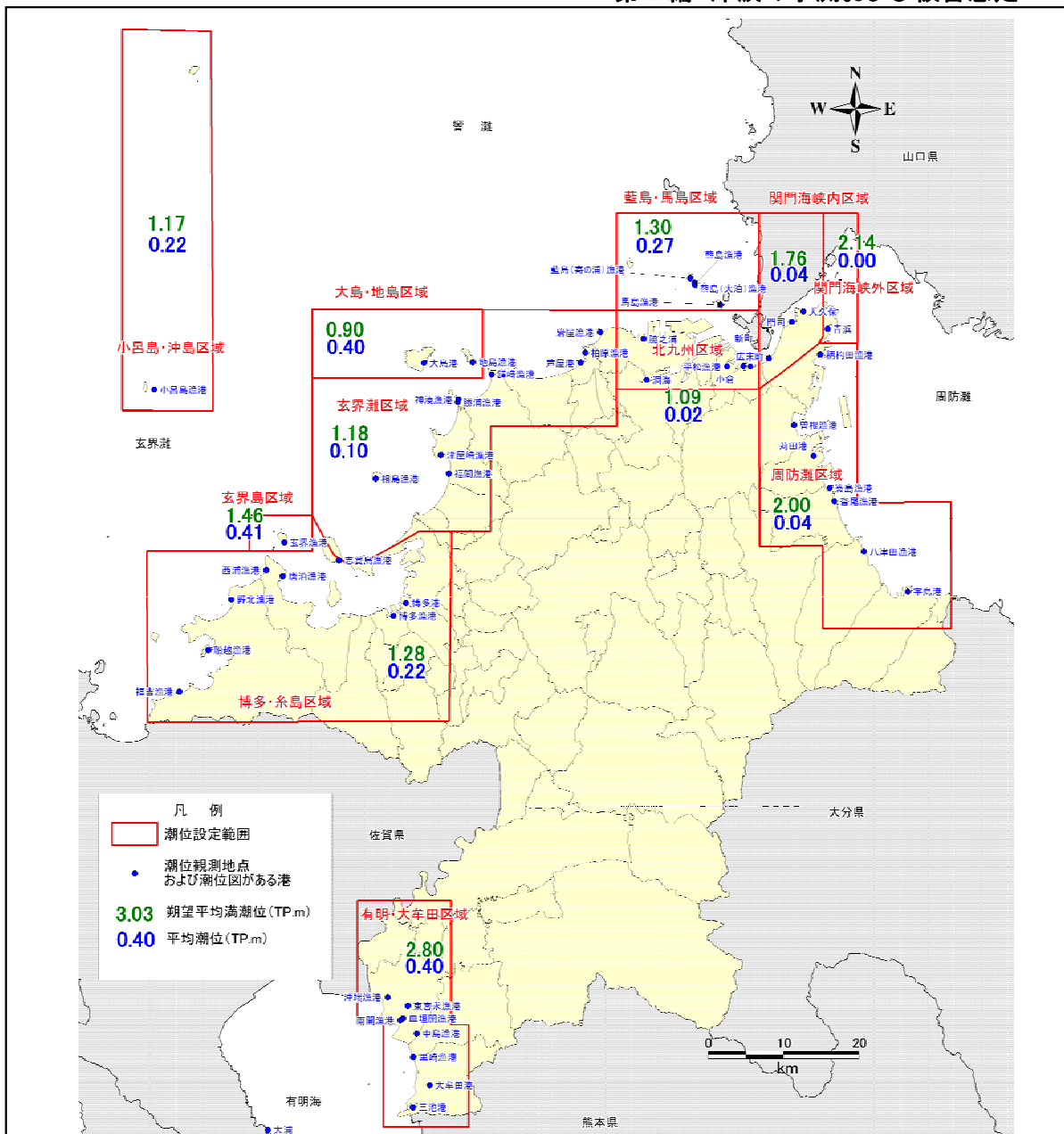
式図と出力

表 2.3-1 津波の予測の内容とアウトプット

評価項目	内容	アウトプット
最大津波高	海岸線における最大津波高を予測し、その分布を平面図に整理する。	最大津波高分布図
津波の到達時間	沿岸部に面する市町村ごとに、海岸線における波高が±20cm 以上 ^{※7} となる時間を予測する。	津波と最大津波の到達時間
最大津波の到達時間	沿岸部に面する市町村ごとに、海岸線における波高が最大となる時間を予測する。	
代表地点での水位変化	海域の任意の場所において、津波が発生した直後からの水位変化を予測し、経時変化図に整理する。	時刻歴波形
最大流速	任意の場所において、最大流速となった際(同一時刻ではない)の流速と流向を予測し、平面図に整理する。	流速分布図
浸水深	陸域における津波の遡上が生じた箇所について、最大浸水深を求めて平面図に整理する。	浸水分布図

第Ⅰ編 表 2-1 の一部を再掲

第Ⅱ編 津波の予測および被害想定



区域名	朔望平均満潮位(TP.m)	平均潮位(TP.m)	備考
小呂島・沖島	1.17	0.22	小呂島は隣接する玄界灘区域と離隔があることから、別途潮位を設定し、小呂島の潮位を初期潮位とした。
博多・糸島	1.28	0.22	博多港-糸島半島間は、満潮位TP.0.9~1.3m、平均潮位TP.-0.13~0.22mであることから、最も潮位が高い野北漁港の値を初期潮位とした。
玄界島	1.46	0.41	玄界島の潮位は隣接する博多・糸島や玄界灘の潮位と異なることから、別途潮位を設定し、玄界島の潮位を初期潮位とした。
玄界灘	1.18	0.10	志賀島-岩屋間の潮位は、満潮位TP.0.8~1.2m、平均潮位TP.-0.45~0.1mであることから、最も潮位が高い柏原漁港(満潮位)と鐘崎漁港(平均潮位)の値を初期潮位とした。
大島・地島	0.90	0.40	地島と大島の潮位は隣接する玄界灘や北九州と異なることから、別途潮位を設定し、最も潮位が高い島の値を初期潮位とした。
北九州	1.09	0.02	北九州港の満潮位はTP.0.7~1.1m、平均潮位はTP.-0.01~0.02mであることから、最も潮位が高い広末町(満潮位)と日明(平均潮位)の値を初期潮位とした。
藍島・馬島	1.30	0.27	藍島と馬島の潮位は隣接する北九州区域と異なることから、別途潮位を設定し、最も潮位が高い藍島の値を初期潮位とした。
関門海峡(内)	1.76	-0.04	新町・門司・大久保の間の満潮位はTP.1.327~1.76mであることから、最も潮位が高い門司の潮位を満潮位とした。平均潮位は門司の観測値のみであることから、TP.-0.04mとした。
関門海峡(外)	2.14	0.00	青浜は周囲に比べて最も潮位が高いため、別途潮位を設定した。なお、平均潮位の記載がないことから、ここではTP.0mとした。
周防灘	2.00	0.04	曾根漁港-宇島港間の満潮位はTP.1.3~2.0m、平均潮位はTP.-0.01~0.04mであることから、最も潮位の高い養島・香尾(満潮位)、刈田港(平均潮位)の値を初期潮位とした。
有明・大牟田	2.80	0.40	三池港-沖端漁港間の満潮位はTP.2.6~2.8m、平均潮位はTP.0.29~0.40mであることから、最も潮位が高い沖端漁港(満潮位)と大牟田港(平均潮位)の値を初期潮位とした。

図2.3.1-2 初期潮位設定図

第Ⅱ編 津波の予測および被害想定

2.3.2 計算方法

図 2.3.2-1

式 2.3.2-1～3

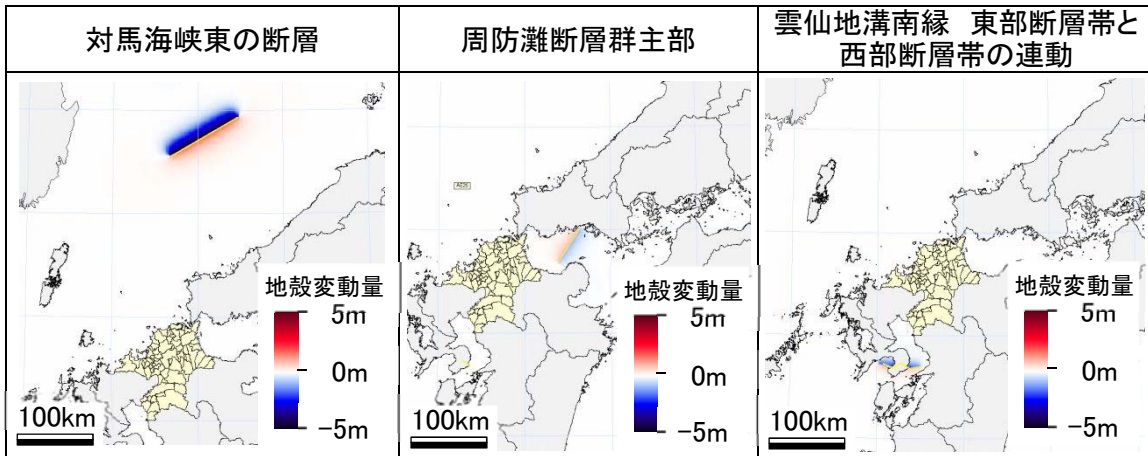


図 2.3.2-1 海底地殻変動量

$$\frac{\partial \eta}{\partial t} + \frac{\partial M}{\partial x} + \frac{\partial N}{\partial y} = 0$$

式 2.3.2-1

$$\frac{\partial M}{\partial t} + \frac{\partial}{\partial x} \left(\frac{M^2}{D} \right) + \frac{\partial}{\partial y} \left(\frac{MN}{D} \right) + gD \frac{\partial \eta}{\partial x} + \frac{gn^2 M \sqrt{M^2 + N^2}}{D^{7/3}} = 0$$

式 2.3.2-2(a)

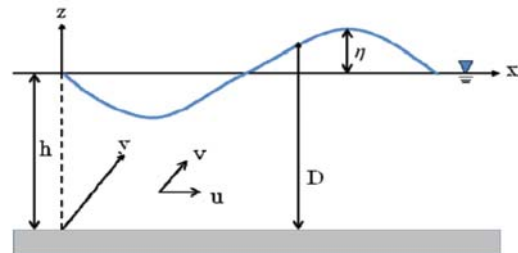
$$\frac{\partial N}{\partial t} + \frac{\partial}{\partial x} \left(\frac{MN}{D} \right) + \frac{\partial}{\partial y} \left(\frac{N^2}{D} \right) + gD \frac{\partial \eta}{\partial y} + \frac{gn^2 N \sqrt{M^2 + N^2}}{D^{7/3}} = 0$$

式 2.3.2-2(b)

$$M = u(h + \eta) = uD, \quad N = v(h + \eta) = vD$$

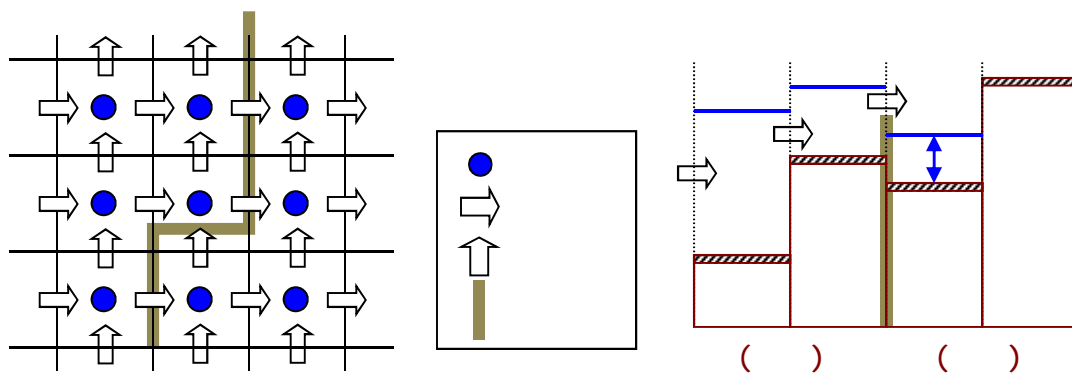
式 2.3.2-3

M, N x, y
 D -
 n



支配方程式の座標系

図 2.3.2-2



※

図 2.3.2-2 津波計算の概念図

式 2.3.2-2

1998⁸

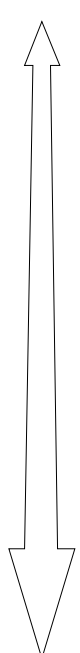
表

2.3.2-1
)100

(

第Ⅱ編 津波の予測および被害想定

表 2.3.2-1 マニングの粗度係数の設定値

土地利用種別国土数値情報(土地利用) 100mメッシュ	粗度係数	摩擦
田	0.020	
その他の農用地		
河川地及び湖沼	0.025	
海浜		
海水域		
荒地		
その他用地(空港、人工造成地など)		
幹線交通用地		
ゴルフ場	0.030	
森林		
建物用地		0.040

※小谷(1998)を参考に設定

2.3.3 計算ケースおよび再現時間の設定

1

2.3.1

6 12

24

表 2.3.3-1

1

-

3

表2.3.3-1 計算ケース一覧

波源	計算範囲	再現時間	初期潮位	
			朔望平均満潮位	平均潮位
対馬海峡東の断層	0010-01～21	6時間	朔望平均満潮位	平均潮位
周防灘断層群主部	0010-01～21	12時間		
雲仙地溝南縁東部断層帯と西部断層帯の連動	0010-22～24	6時間		
別府湾-日出生断層帯東部	0030-01～06	6時間	—	

※ 再現時間の設定は、最大津波の到達が確認できる時間を目安として6～12 時間とした。

※ 時刻歴波形の出力地点の再現時間は24時間とした。

第Ⅱ編 津波の予測および被害想定

2.3.4 津波の予測

3 2 6
- 2.3.3

図 2.3.4-1,2

T.P.m T.P.m m

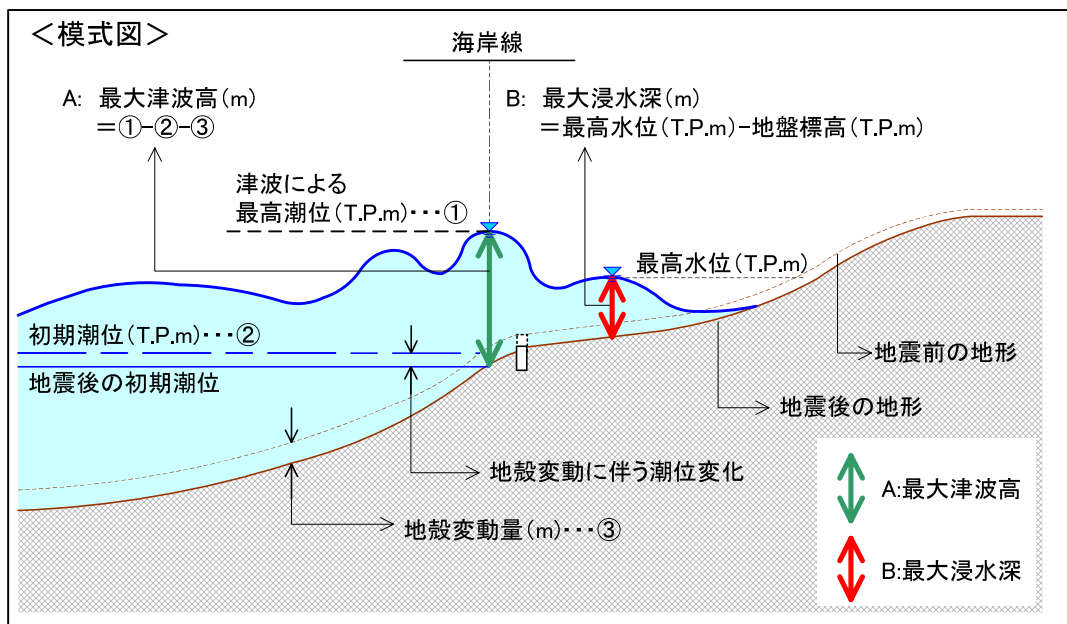


図 2.3.4-1 海岸線における最大津波高と最大浸水深 模式図

(図 2.3-1 の一部を再掲)

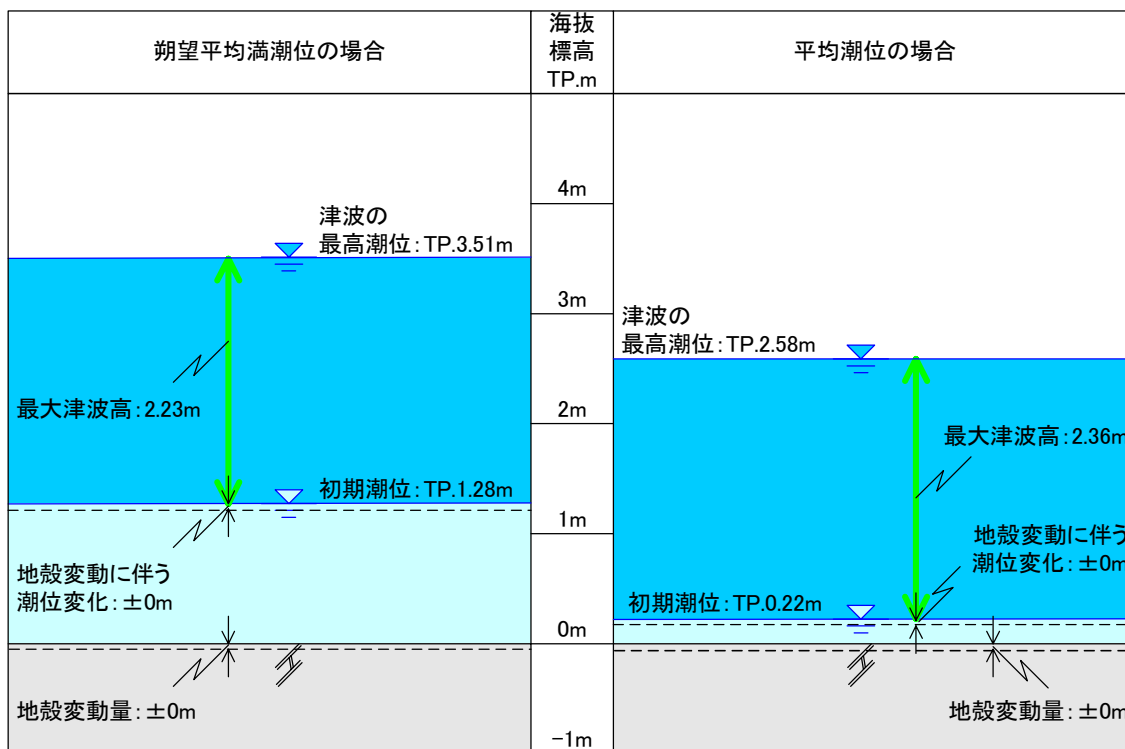


図 2.3.4-2 海岸線における最大津波高のイメージ図

(第 3 章で後述する対馬海峡東の断層とした場合の糸島市の予測結果を例として)

表 2.3.4-1

図 2.3.4-3

表2.3.4-1

第Ⅱ編 津波の予測および被害想定

表 2.3.4-1 浸水深と危険度

浸水深		深さの目安および危険度		
		身体	建物	自動車
0.00～ 0.15m 未満	0.00～ 0.15m 未満	足首までつかる深さ	床下浸水。	0.1m 程度でブレーキが効きにくくなる。
	0.15～ 0.50m 未満	膝までつかる深さ。 0.5m を超えると歩行が困難となる。 さらに流れが(秒速 1m/秒程度)あれば 0.3m 程度でも歩行が困難となる。		0.3m 程度でマフラーから水が逆流して、エンジンに水が浸入。 オートマチック車ではクラッチ板の剥離がおきる。
0.50～ 0.80m 未満	0.50～ 0.80m 未満	膝までつかる深さ。 1983 年の日本海中部地震による津波では浸水深 0.7 m の津波で死者が出ている。	床上浸水。 0.5m 以上 1.0m 未満で木造建物は軽微破壊。	車が浮き、ドアの開閉が難しく、中に閉じ込められて車とともに流出され、危険な状態。
0.80～ 1.20 m 未満	0.80～ 1.20 m 未満	胸までつかる深さ。	床上浸水。 1.0m 以上 2.0m 未満で木造建物は半壊。	
1.20～ 2.00 m 未満	1.20～ 2.00 m 未満	足がつかない深さ。	床上浸水。 2.0m で1階軒下まで浸水する程度。 5.0m で2階軒下まで浸水する程度。 2.0m 以上で木造建物は全壊。	
2.00～ 5.00 m 未満	2.00～ 5.00 m 未満			

<参考文献>

「津波・高潮ハザードマップ作成マニュアル(案)」津波・高潮ハザードマップ研究会事務局 2003

「浸水想定区域図作成マニュアル」国土交通省河川局治水課 2005

「津波災害予測マニュアル」財団法人日本気象協会 1997

「利根川の洪水」利根川研究会 1995

「国土交通省 九州地方整備局 HP」 <http://www.qsr.mlit.go.jp/kozui/main2.htm>

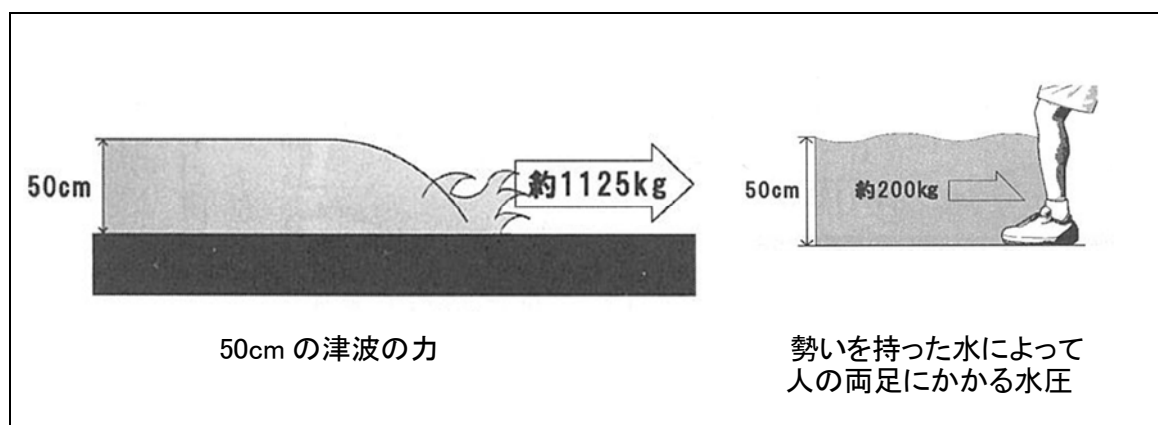


図 2.3.4-3 津波の力

「津波から生き残る、平成 21 年、土木学会」より抜粋



時間

第Ⅱ編 津波の予測および被害想定

2.4 津波による被害の想定

2.3.4

表 2.4-1

図 2.4-1

表 2.4-1 本調査における評価項目と内容

評価項目	内容	アウトプット
建築物被害	浸水範囲内に分布する建築物の棟数と浸水深から被害量を求める。	被害棟数
人的被害	浸水範囲内の人口と浸水深と死亡率の関係から、被害量を求める。	死亡者数

第Ⅰ編 表 2-1 の一部を再掲

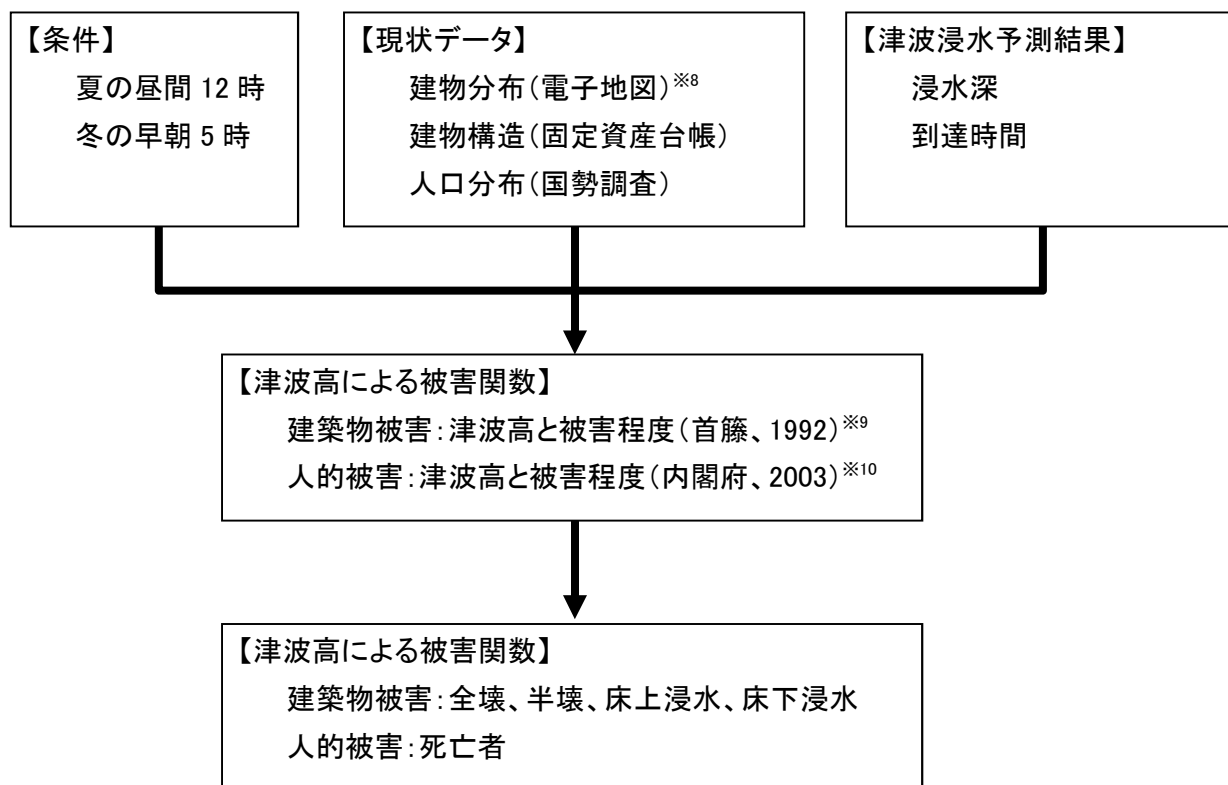


図 2.4-1 被害想定フロー

9 GEOSPACE 2013年
10 9
11 2003

2.4.1 建築物被害の予測

表 2.4.1-1

1992

15

表 2.4.1-2

表 2.4.1-1 津波高と被害程度

津波強度	0	1	2	3	4	5
津波高 (m)	1	2	4	8	16	32
津波形態	緩斜面	岸で盛上がる	沖でも水の壁 第二波砕波	先端に 砕波を伴う ものが増える。	第一波でも 巻き波砕波を 起こす。	
	急斜面	速い潮汐	速い潮汐			
音響			全面砕波による連続音 (海鳴り、暴風雨)			
				浜での巻き波砕波による大音響 (雷鳴。遠方では認識されない)		
					崖に衝突する大音響 (遠雷、発破。かなり遠くまで聞こえる)	
木造家屋	部分的破壊		全面破壊			
石造家屋	持ちこたえる		(資料無し)		全面破壊	
鉄・コン・ビル	持ちこたえる			(資料無し)		全面破壊
漁船	被害発生		被害率50%	被害率100%		
防潮林被害 防潮林効果	被害軽微 津波軽減		潮流物阻止	部分的被害 潮流物阻止	全面的被害 無効果	
養殖筏	被害発生					
沿岸集落	被害発生		被害率50%	被害率100%		
津波高 (m)	1	2	4	8	16	32

出所) 首藤伸夫「津波強度と被害」
(1992年、津波工学研究報告第9号 101-136)

第Ⅱ編 津波の予測および被害想定

表 2.4.1-2 浸水深と被害区分

被害区分	浸水深(H)	
	木造建物	非木造建物
床上(全壊)	$2.0\text{m} \leq H$	—
床上(半壊)	$1.0\text{m} \leq H < 2.0\text{m}$	—
床上(軽微)	$0.5\text{m} \leq H < 1.0\text{m}$	$0.5\text{m} \leq H$
床下浸水	$H < 0.5\text{m}$	$H < 0.5\text{m}$

「東海地震に係る被害想定手法について-参考資料:東海地震に係る被害想定手法について、平成 15 年、中央防災会議 東海地震対策専門調査会」p.5 より抜粋

2.3.4

表 2.4.1-2

②

建物の木造・非木造の割合を求める。

上記①で求めた

2.4.2 人的被害の予測

15

図 2.4.2-1

図 2.4.2-2

図 2.4.2-1

図 2.4.2-2

23 3 11

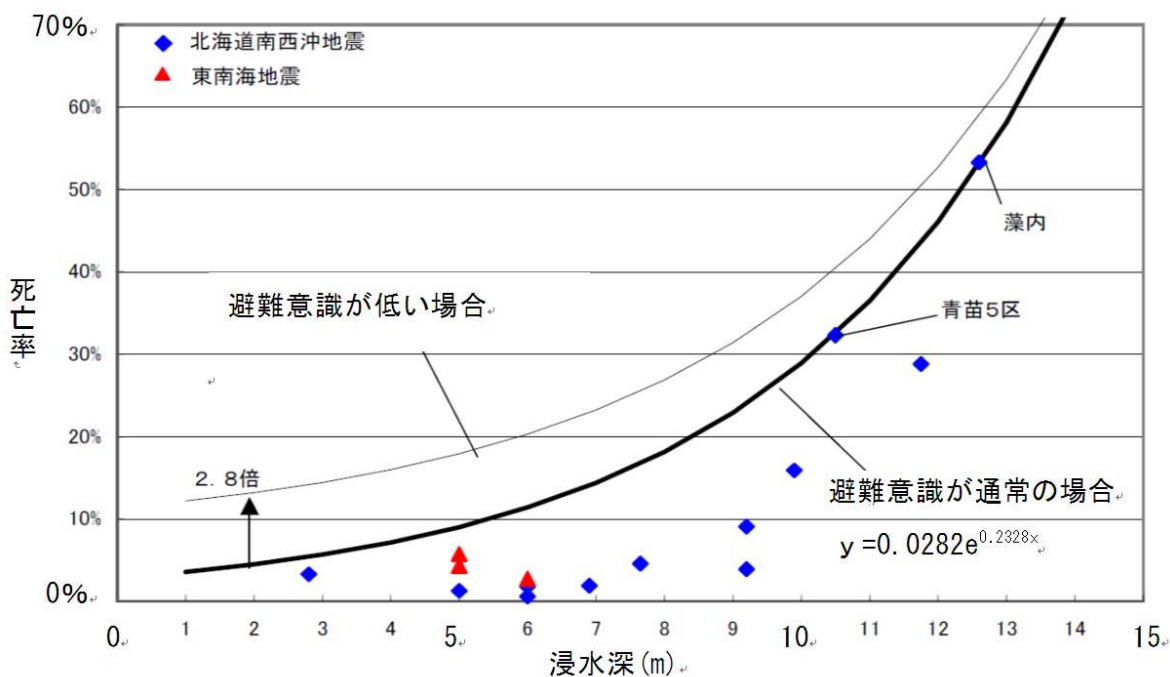


図 2.4.2-1 浸水深と死亡率の関係

「東海地震に係る被害想定手法について-参考資料:東海地震に係る被害想定手法について、平成 15 年、中央防災会議 東海地震対策専門調査会」p.24 抜粋加筆

第Ⅱ編 津波の予測および被害想定

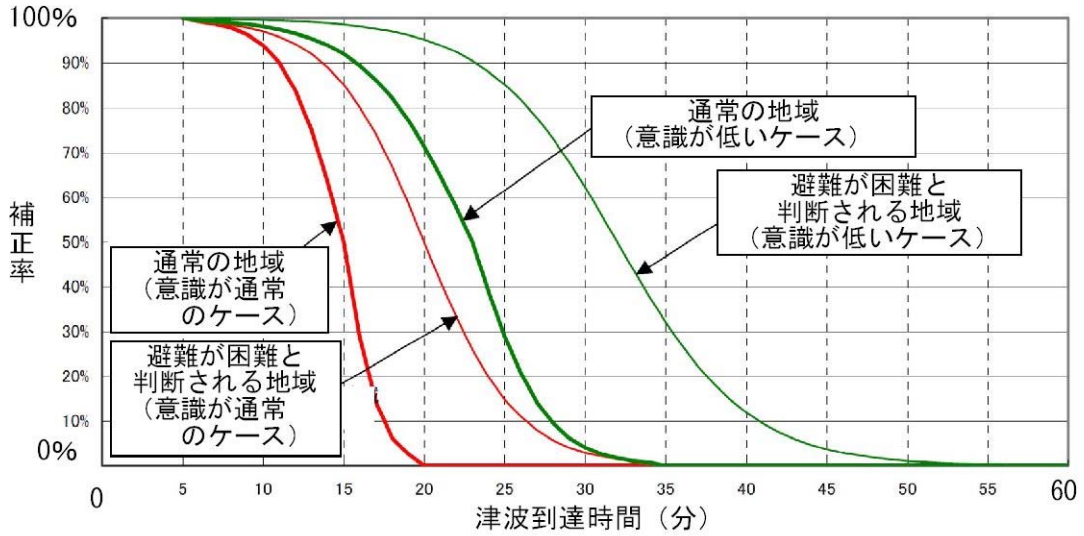


図 2.4.2-2 津波到達時間と補正率の関係

「東海地震に係る被害想定手法について-参考資料:東海地震に係る被害想定手法について、平成 15 年、中央防災会議 東海地震対策専門調査会」 p.26 抜粋加筆

2.1.5

図 2.4.2-3

- ① 浸水範囲内の人口を、平成 17 年国勢調査・平成 18 年事業所・企業統計調査地域メッシュ統計リンク結果より把握した。被害は時間帯によって人口が異なることから、多くの住民が在宅していると考えられる朝 5 時（夜間人口）と働きに出ている昼 12 時を設定した。
- ② 上記①で把握した人口に対し、図 2.4.2-1 浸水深と死亡率の関係から避難を考えない場合の死亡者数を求めた。
- ③ 参考値：上記②で求めた死亡者数に対し、図 2.4.2-2 に基づいて津波到達時間による死亡者数の補正を行い、避難を考慮した場合の人的被害を求めると対象とした 3 地震ともに津波到達まで時間の余裕が出るため被害が発生しない結果となった。

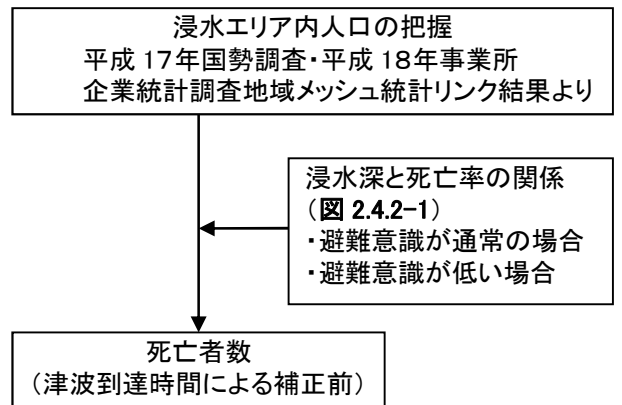


図 2.4.2-3 人的被害の予測フロー

3. 調査結果

表 3-1 図 3-1

表 3-1

3.1 3.2

2

2.61 m

28

123

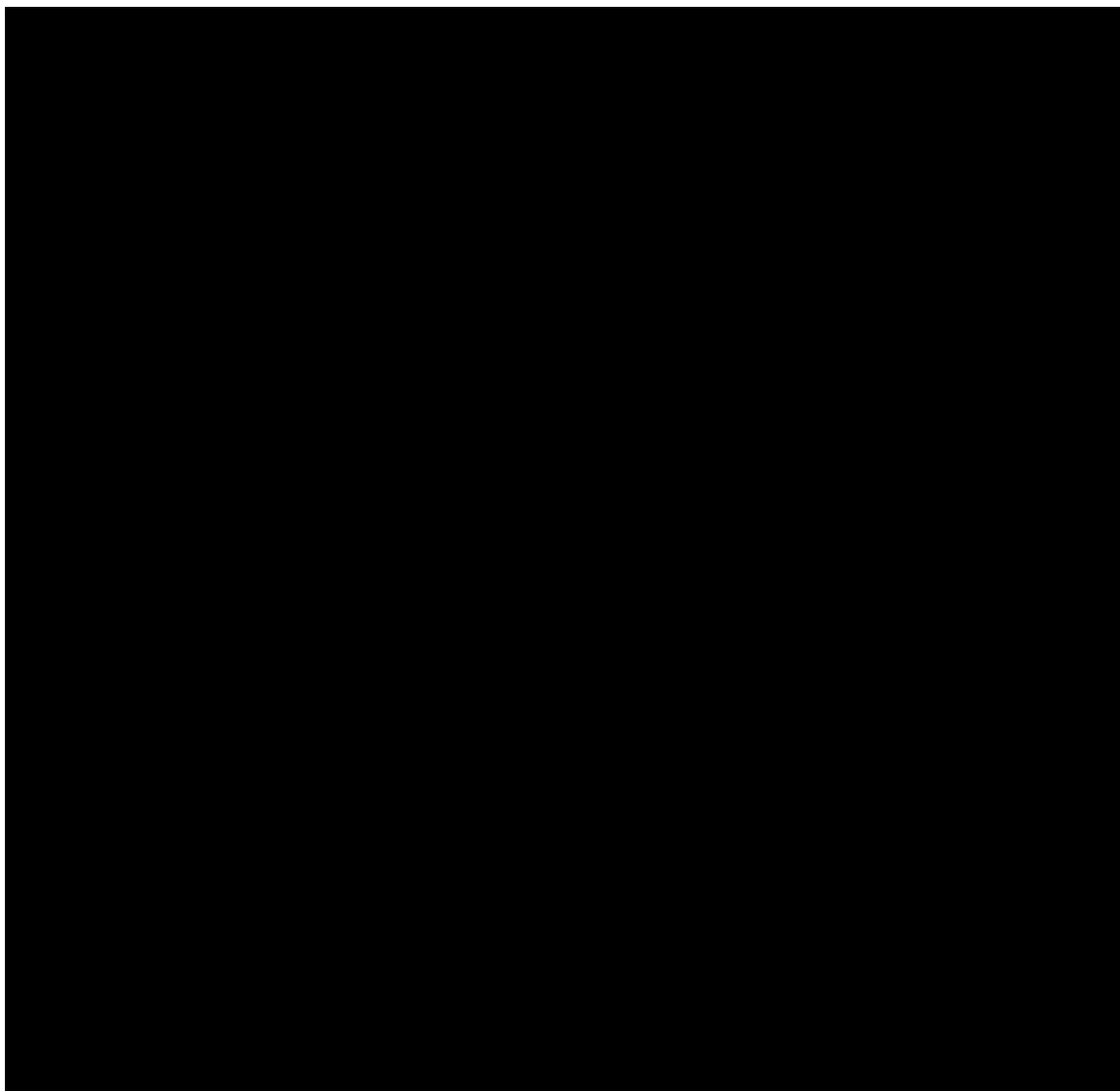
9

表 3-1 各地震による最大津波高および津波到達時間

No	ケース		最速津波 到達時間※ (分)	最大 津波高 (m)	建築物 被害棟数 (棟)	人的被害 死者数※※ (人)	
	波源	初期潮位				通常	意識 低い
①	対馬海峡東の断層	朔望平均満潮位	71	2.50	123	—	9
		平均潮位	85	2.61	35	—	1
②	周防灘断層群主部	朔望平均満潮位	28	1.59	6	—	—
		平均潮位	30	1.79	2	—	—
③	雲仙地溝南縁東部断層帯と西部断層帯の連動	朔望平均満潮位	30	0.54	—	—	—
		平均潮位	32	0.36	—	—	—
④	別府湾-日出生断層帯東部	平均潮位	98	0.60	/		

※津波到達時間:計算開始から+20cm水位上昇までに要した時間

※※夜間に津波が発生した場合



③雲仙地溝南縁東部断層帯と
西部断層帯の連動

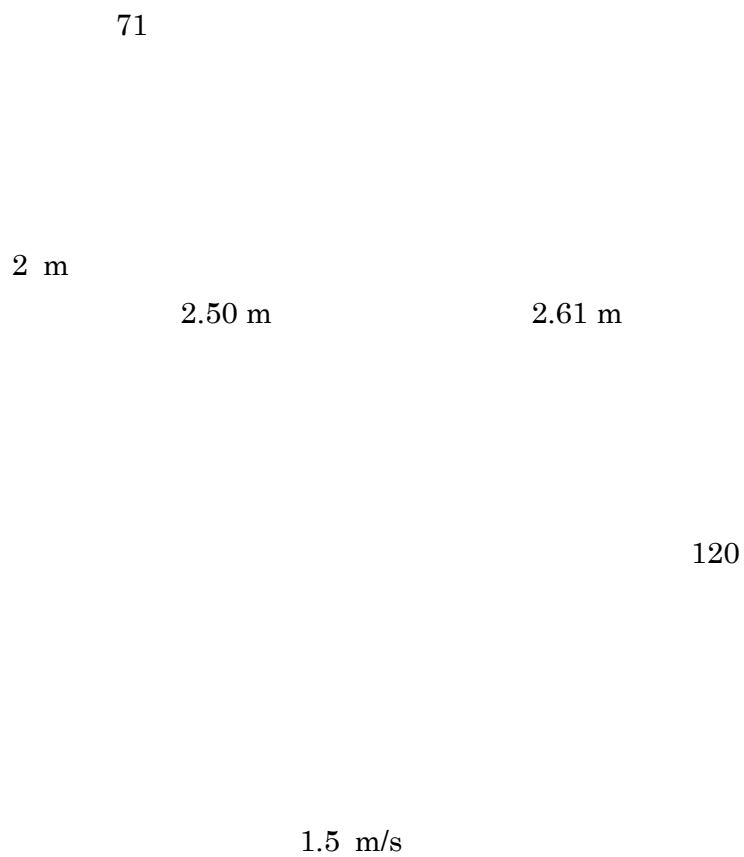
④別府湾-日出生断層帯東部

図 3-1 各波源の位置と想定地震による最大津波高分

3.1 津波の予測

3.1.1 対馬海峡東の断層

図 3.1.1-1,2



第Ⅱ編 津波の予測および被害想定

2
0.56m
8 10 0.2 m

津波高(m)

- 3.0 -
- 2.5 - 3.0
- 2.0 - 2.5
- 1.5 - 2.0

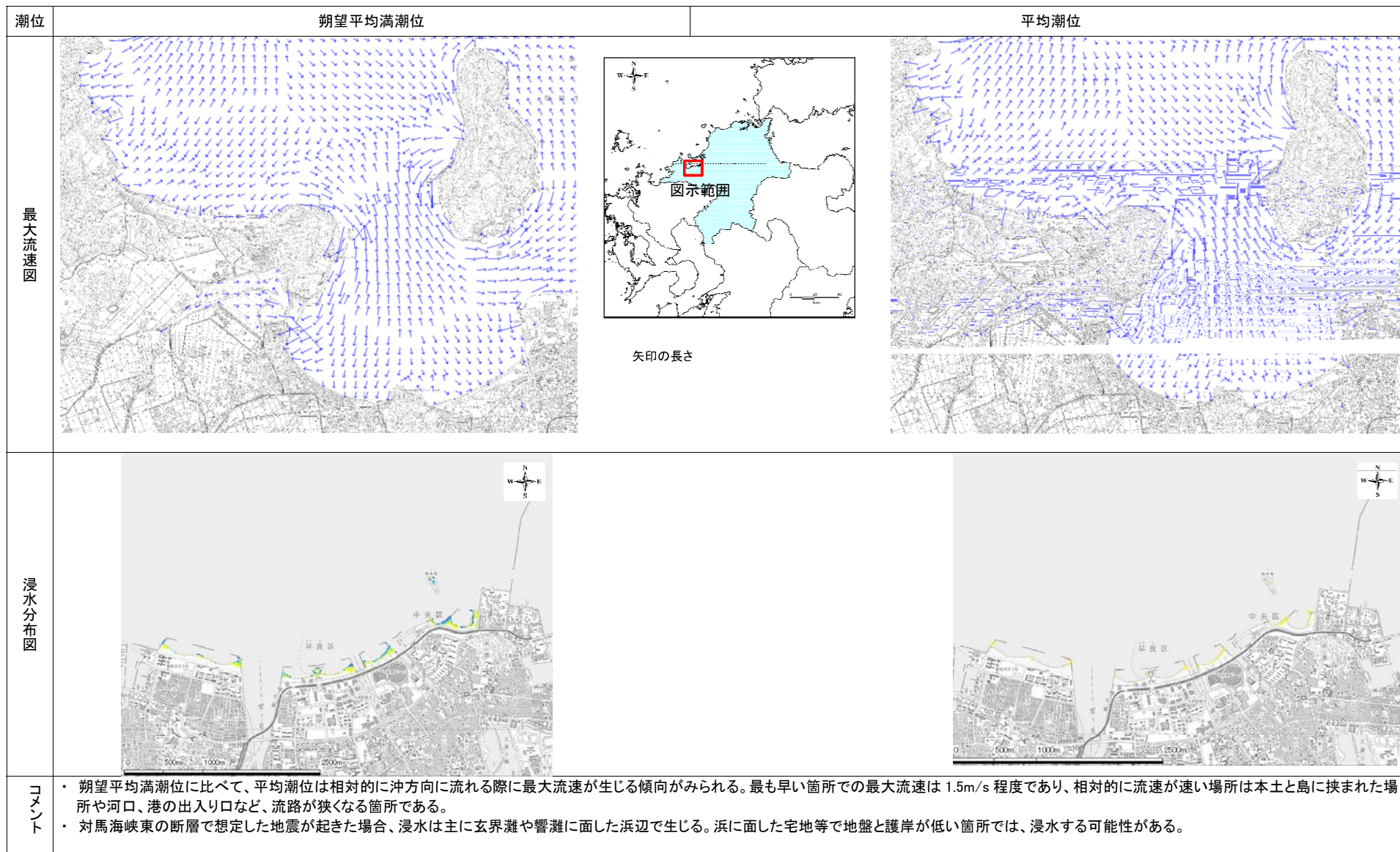
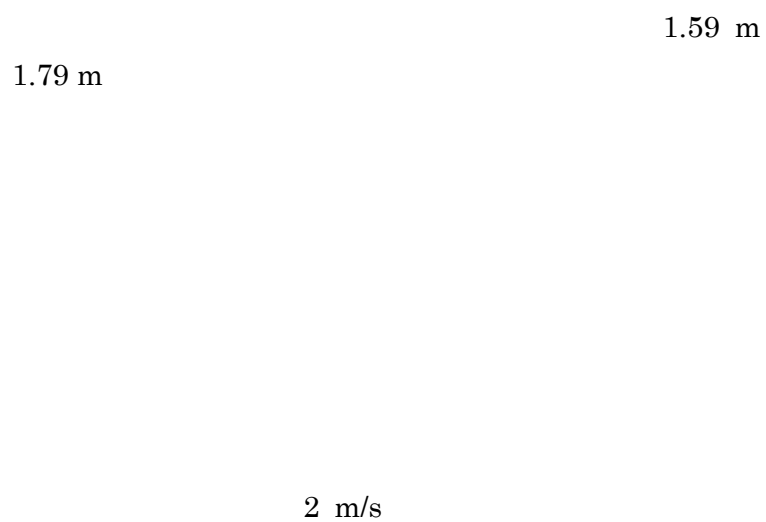


図 5.1.1-2 最大流速と浸水域の分布(波源:対馬海峡東の断層)

3.1.2 周防灘断層群主部

図 3.1.2-1,2



第Ⅱ編 津波の予測および被害想定

0.4 m
5 30 0.2 m

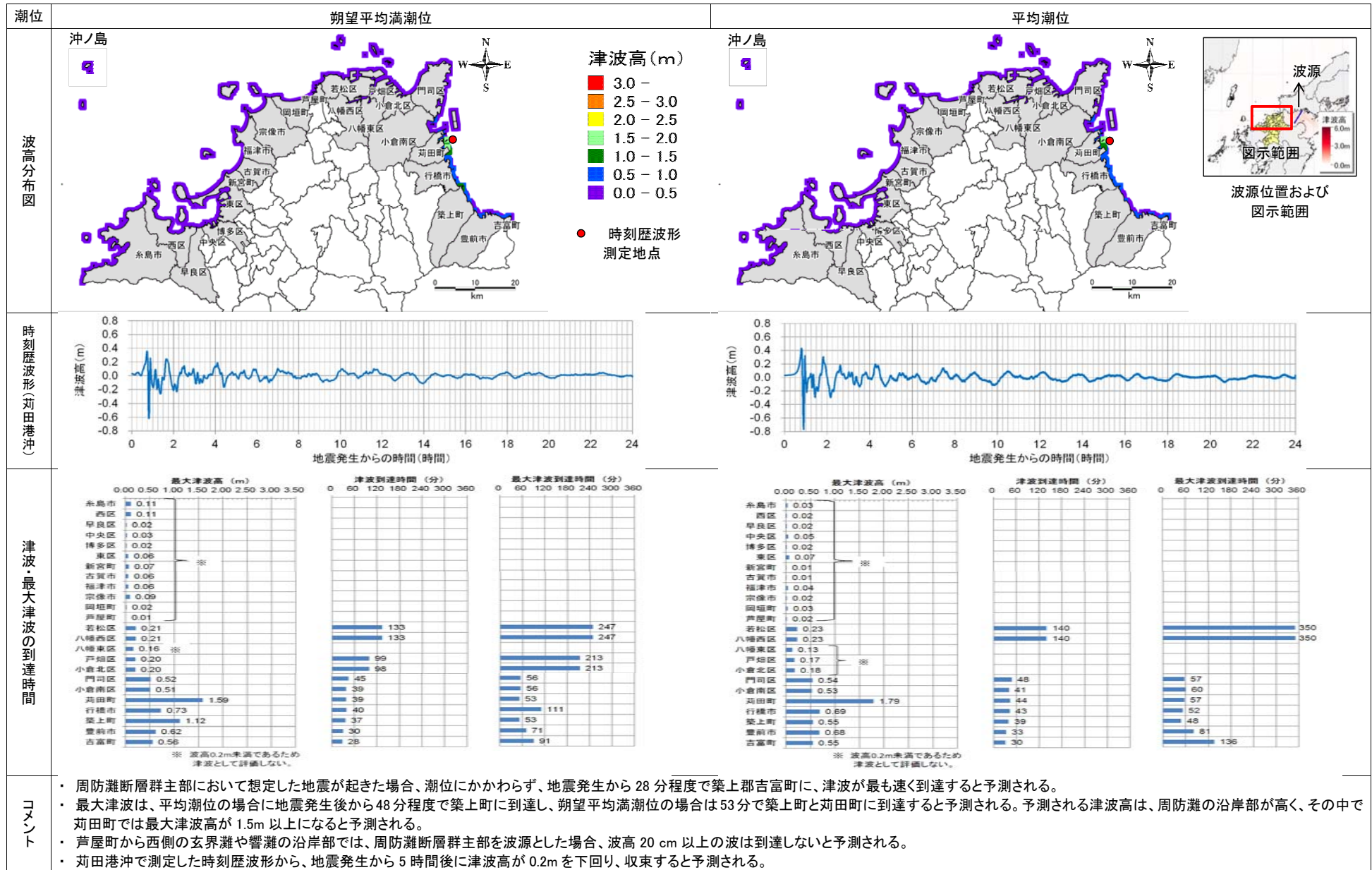


図 3.1.2-1 最大津波高の分布と各市町村における津波の規模(波源:周防灘断層群主部)

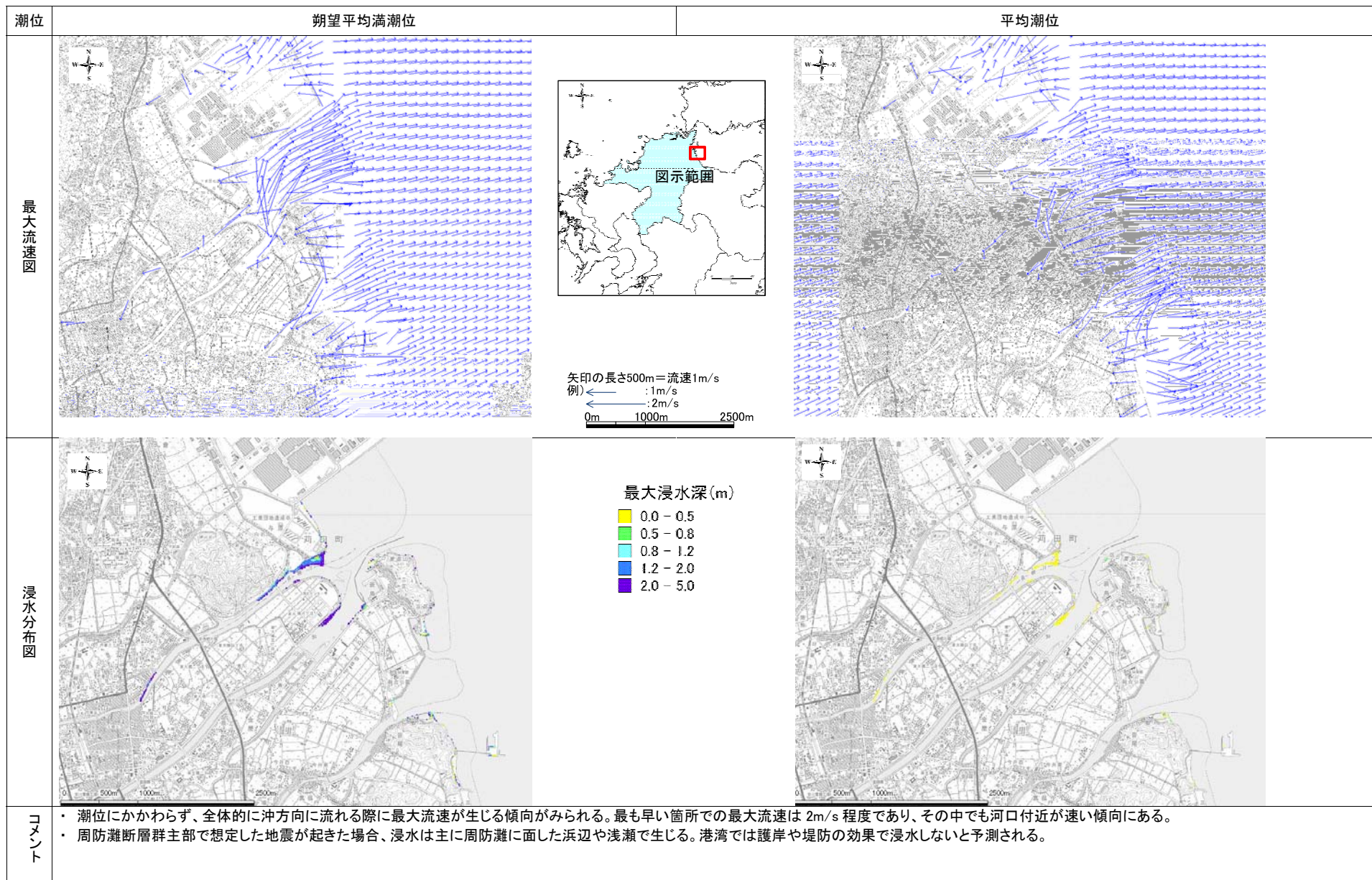
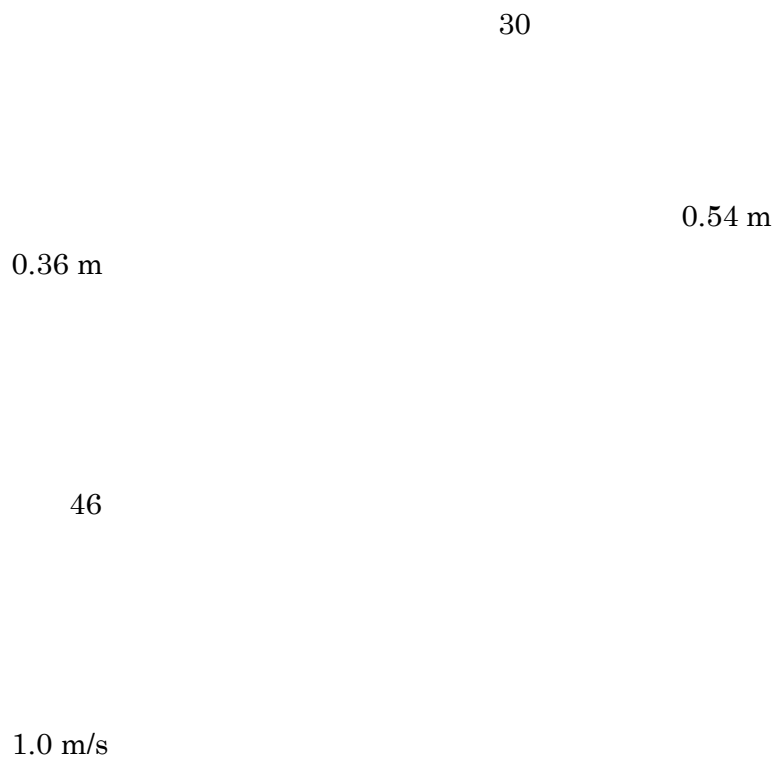


図 3.1.2-2 最大流速と浸水域の分布(波源:周防灘断層群主部)

3.1.3 雲仙地溝南縁東部断層帯と西部断層帯の連動

図 3.1.3-1,2



第Ⅱ編 津波の予測および被害想定

30
0.2 m
1 0.2 m

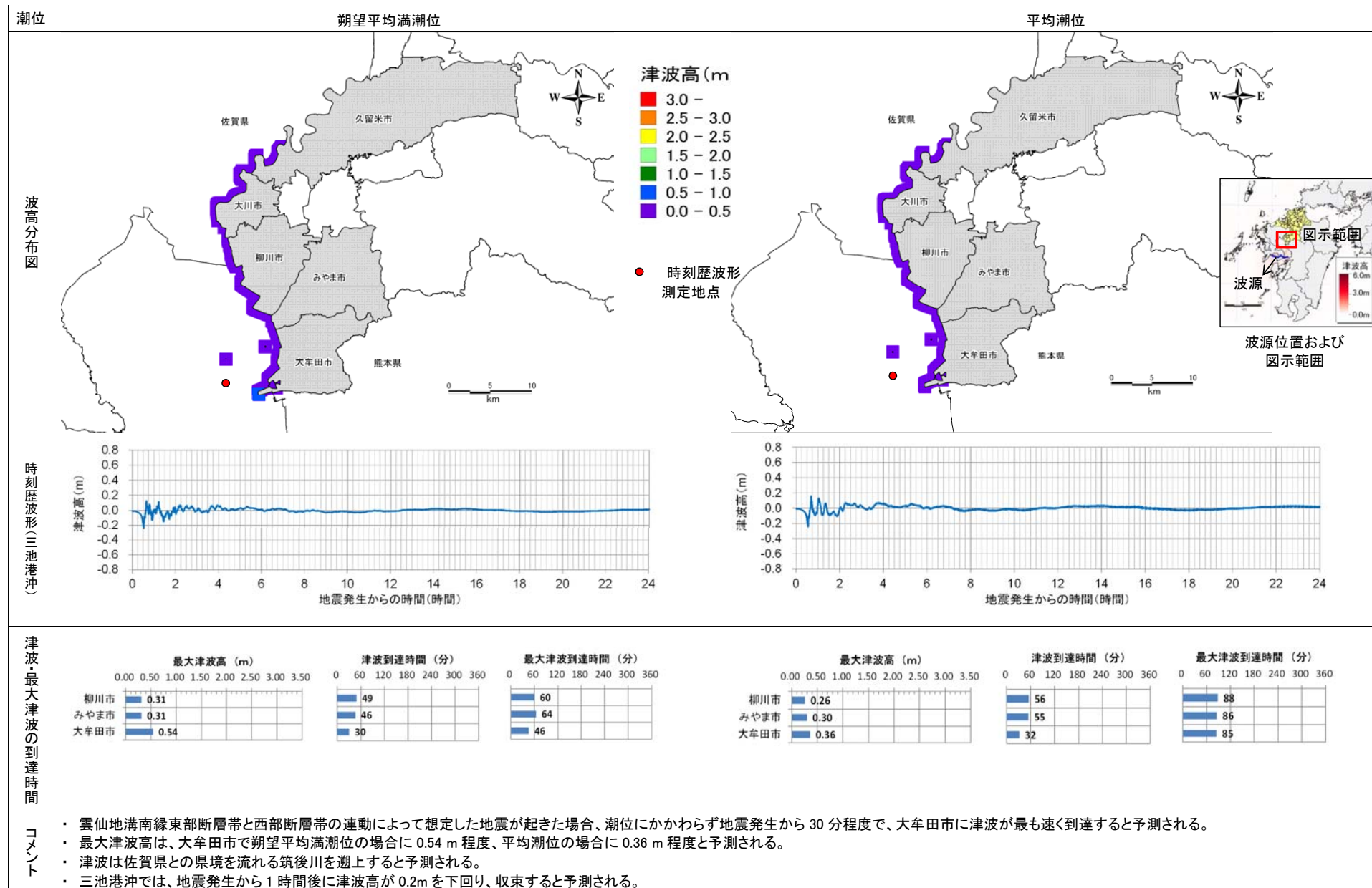


図 3.1.3-1 最大津波高の分布と各市町村における津波の規模(波源:雲仙地溝南縁東部断層帯と西部断層帯の連動)

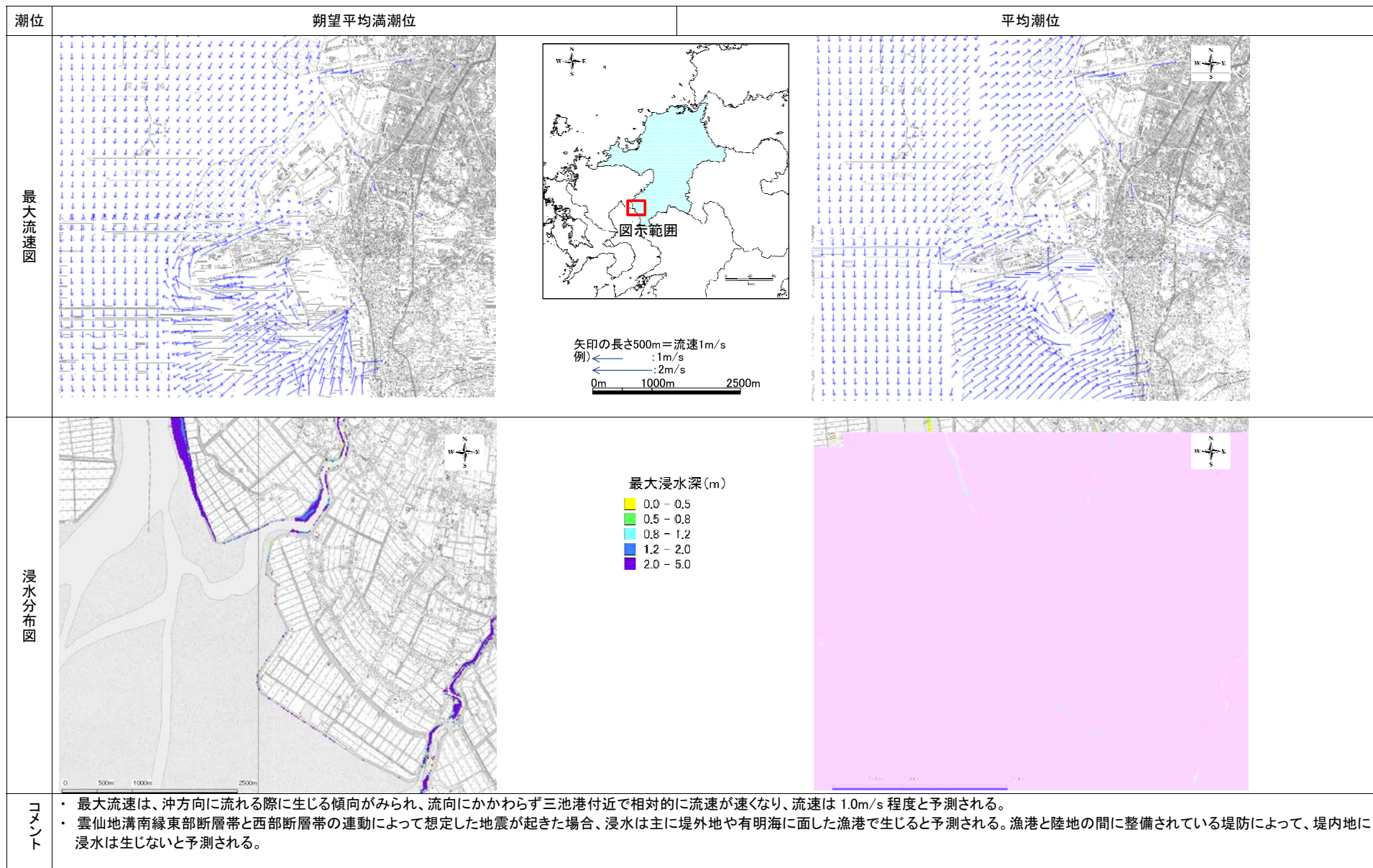


図 3.1.3-2 最大流速と浸水域の分布(波源:雲仙地溝南縁東部断層帯と西部断層帯の運動)

3.2 津波による被害の想定

表 3.2-1

表 3.2-2

表 3.2-1 津波による建物被害一覧(上:満潮位、下:平均潮位)

満潮位 (棟)

市区町村	対馬海峡東				周防灘				雲仙地溝南縁				
	全壊	半壊	床上浸水	床下浸水	全壊	半壊	床上浸水	床下浸水	全壊	半壊	床上浸水	床下浸水	
北九州市	門司区	-	-	1	-	-	-	1	-	-	-	-	-
	小倉北区	-	-	-	3	-	-	-	-	-	-	-	-
	八幡西区	-	1	-	1	-	1	-	-	-	-	-	-
福岡市	東区	-	9	9	6	-	-	-	-	-	-	-	-
	中央区	-	-	-	1	-	-	-	-	-	-	-	-
	西区	1	5	5	5	-	-	-	-	-	-	-	-
	早良区	-	-	1	-	-	-	-	-	-	-	-	-
大牟田市	-	-	-	-	-	-	-	-	-	-	-	-	
柳川市	-	-	-	-	-	-	-	-	-	-	-	-	
大川市	-	-	-	-	-	-	-	-	-	-	-	-	
行橋市	-	-	-	-	-	2	-	-	-	-	-	-	
古賀市	-	-	-	1	-	-	-	-	-	-	-	-	
福津市	-	2	-	1	-	-	-	-	-	-	-	-	
みやま市	-	-	-	-	-	-	-	-	-	-	-	-	
糸島市	5	13	24	29	-	-	-	-	-	-	-	-	
吉富町	-	-	-	-	-	-	1	-	-	-	-	-	
築上町	-	-	-	-	-	-	1	-	-	-	-	-	
合計	6	30	40	47	-	3	3	-	-	-	-	-	

平均潮位 (棟)

市区町村	対馬海峡東				周防灘				雲仙地溝南縁				
	全壊	半壊	床上浸水	床下浸水	全壊	半壊	床上浸水	床下浸水	全壊	半壊	床上浸水	床下浸水	
北九州市	門司区	-	-	-	-	-	-	-	-	-	-	-	-
	小倉北区	-	-	-	-	-	-	-	-	-	-	-	-
	八幡西区	-	-	-	1	-	-	-	1	-	-	-	-
福岡市	東区	-	-	-	3	-	-	-	-	-	-	-	-
	中央区	-	-	-	-	-	-	-	-	-	-	-	-
	西区	-	3	4	-	-	-	-	-	-	-	-	-
	早良区	-	-	-	1	-	-	-	-	-	-	-	-
大牟田市	-	-	-	-	-	-	-	-	-	-	-	-	
柳川市	-	-	-	-	-	-	-	-	-	-	-	-	
大川市	-	-	-	-	-	-	-	-	-	-	-	-	
行橋市	-	-	-	-	-	-	-	-	-	-	-	-	
古賀市	-	-	-	-	-	-	-	-	-	-	-	-	
福津市	-	-	-	-	-	-	-	-	-	-	-	-	
みやま市	-	-	-	-	-	-	-	-	-	-	-	-	
糸島市	-	2	12	9	-	-	-	-	-	-	-	-	
吉富町	-	-	-	-	-	-	1	-	-	-	-	-	
築上町	-	-	-	-	-	-	-	-	-	-	-	-	
合計	-	5	16	14	-	-	1	1	-	-	-	-	

第Ⅱ編 津波の予測および被害想定

表 3.2-2 津波による人的被害一覧(上:満潮位、下:平均潮位)

満潮位 (人)

市区町村	対馬海峡東				周防灘				雲仙地溝南縁				
	昼間		夜間		昼間		夜間		昼間		夜間		
	通常	意識低い	通常	意識低い	通常	意識低い	通常	意識低い	通常	意識低い	通常	意識低い	
北九州市	門司区	-	-	-	-	-	-	-	-	-	-	-	-
	小倉北区	-	-	-	-	-	-	-	-	-	-	-	-
	八幡西区	-	-	-	-	-	-	-	-	-	-	-	-
福岡市	東区	-	2	1	4	-	-	-	-	-	-	-	-
	中央区	-	-	-	-	-	-	-	-	-	-	-	-
	西区	-	1	-	1	-	-	-	-	-	-	-	-
	早良区	-	-	-	-	-	-	-	-	-	-	-	-
大牟田市	-	-	-	-	-	-	-	-	-	-	-	-	
柳川市	-	-	-	-	-	-	-	-	-	-	-	-	
大川市	-	-	-	-	-	-	-	-	-	-	-	-	
行橋市	-	-	-	-	-	-	-	-	-	-	-	-	
古賀市	-	-	-	-	-	-	-	-	-	-	-	-	
福津市	-	-	-	-	-	-	-	-	-	-	-	-	
みやま市	-	-	-	-	-	-	-	-	-	-	-	-	
糸島市	2	6	1	4	-	-	-	-	-	-	-	-	
吉富町	-	-	-	-	-	-	-	-	-	-	-	-	
築上町	-	-	-	-	-	-	-	-	-	-	-	-	
合計	2	9	2	9	-	-	-	-	-	-	-	-	

平均潮位 (人)

市区町村	対馬海峡東				周防灘				雲仙地溝南縁				
	昼間		夜間		昼間		夜間		昼間		夜間		
	通常	意識低い	通常	意識低い	通常	意識低い	通常	意識低い	通常	意識低い	通常	意識低い	
北九州市	門司区	-	-	-	-	-	-	-	-	-	-	-	-
	小倉北区	-	-	-	-	-	-	-	-	-	-	-	-
	八幡西区	-	-	-	-	-	-	-	-	-	-	-	-
福岡市	東区	-	-	-	-	-	-	-	-	-	-	-	-
	中央区	-	-	-	-	-	-	-	-	-	-	-	-
	西区	-	1	-	-	-	-	-	-	-	-	-	-
	早良区	-	-	-	-	-	-	-	-	-	-	-	-
大牟田市	-	-	-	-	-	-	-	-	-	-	-	-	
柳川市	-	-	-	-	-	-	-	-	-	-	-	-	
大川市	-	-	-	-	-	-	-	-	-	-	-	-	
行橋市	-	-	-	-	-	-	-	-	-	-	-	-	
古賀市	-	-	-	-	-	-	-	-	-	-	-	-	
福津市	-	-	-	-	-	-	-	-	-	-	-	-	
みやま市	-	-	-	-	-	-	-	-	-	-	-	-	
糸島市	-	-	-	1	-	-	-	-	-	-	-	-	
吉富町	-	-	-	-	-	-	-	-	-	-	-	-	
築上町	-	-	-	-	-	-	-	-	-	-	-	-	
合計	-	1	-	1	-	-	-	-	-	-	-	-	

4. 最大津波高分布図と浸水予測図の作成

3.1

表 4-1

表 4-1 最大津波高分布図と浸水予測図の作成ケース

波源	初期潮位	図面名
対馬海峡東の断層	朔望平均満潮位	最大津波高分布図 浸水予測図
	平均潮位	
周防灘断層群主部	朔望平均満潮位	
	平均潮位	
雲仙地溝南縁 東部断層帯と西部断層帯	朔望平均満潮位	
	平均潮位	

S=1:100,000

S=1: 25,000

図 4-1

表 4-2

表 4-2 各図面の作成範囲

波源	図番号	
	最大津波高分布図	浸水予測図
対馬海峡東の断層	1,2,3,4 (4 範囲)	A-1,7,12,13,14 B-10,11,12 C-10,11,12 D-7,8,9,10,11,12 E-7,8,9,10,11,12 F-7
周防灘断層群主部		G-5,6,7 H-5,6,7 I-6,7,8,9 J-6,7,8,9,10,11 K-11,12 (40 範囲)
雲仙地溝南縁 東部断層帯と西部断層帯	5 (1 範囲)	C-18,19 D-17,18,19,20,21,22 (8 範囲)

図 4-1

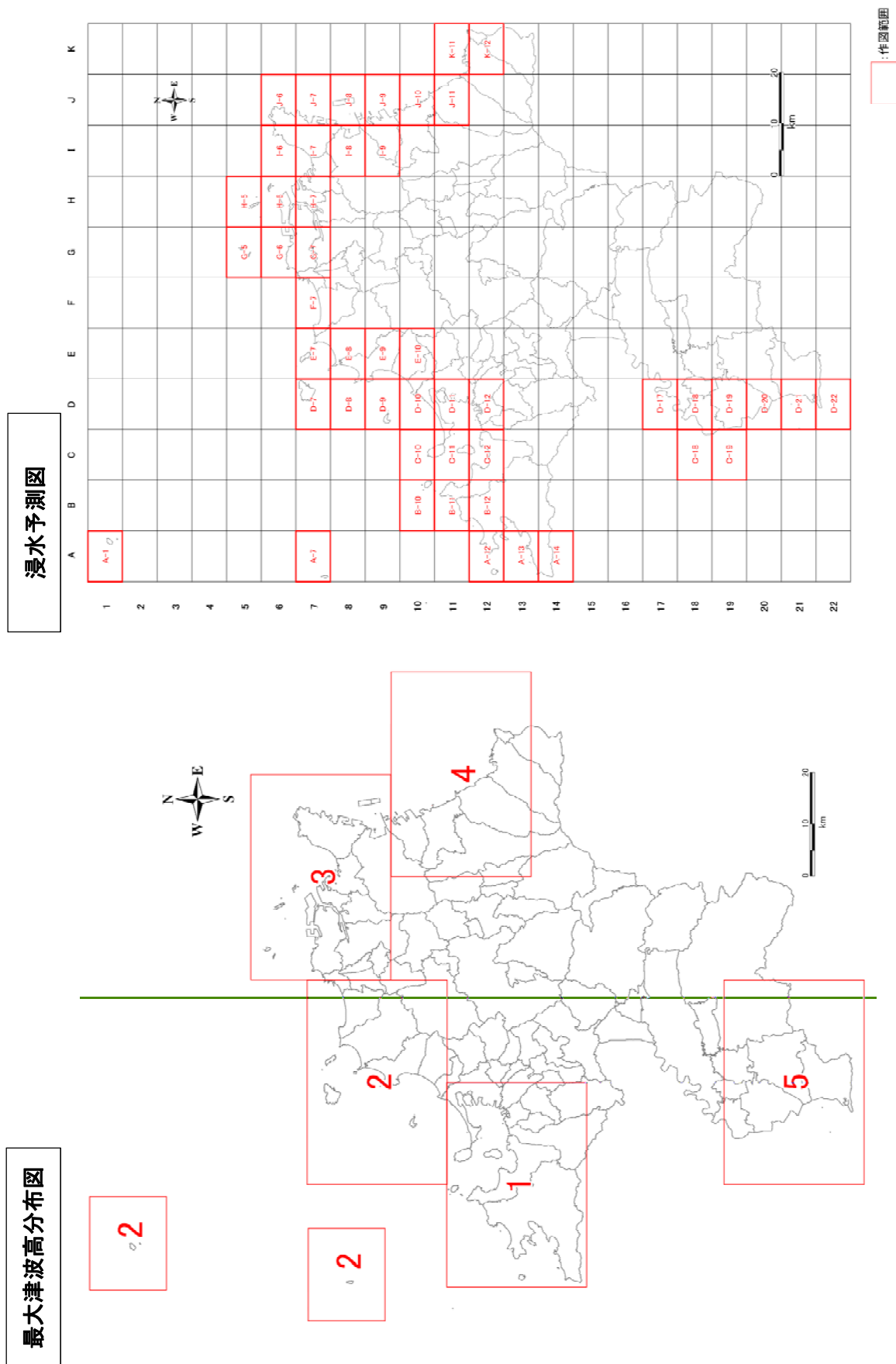


図 4-1 最大津波高分布図と浸水予測図の作成図枠と図番号

表

4-3

表 4-4

表 4-3 津波高と浸水深さの閾値と表示色

津波高分布図	浸水予測図
<p>3.0 - 2.5 - 3.0 2.0 - 2.5 1.5 - 2.0 1.0 - 1.5 0.5 - 1.0 0.0 - 0.5 単位:m</p> <p>※閾値は 0.5m 区切りとした。</p>	<p>0.0 - 0.5 0.5 - 0.8 0.8 - 1.2 1.2 - 2.0 2.0 - 5.0 単位:m</p> <p>※閾値は表 4-4 の区分に準じた。</p>

表 4-4 浸水深と危険度(表 2.3.4-1 を再掲)

浸水深	深さの目安および危険度		
	身体	建物	自動車
0.00～ 0.15m 未満	足首までつかる深さ	床下浸水。	0.1m 程度でブレーキが効きにくくなる。
	膝までつかる深さ。 0.5m を超えると歩行が困難となる。 さらに流れが(秒速 1m/秒程度)あれば 0.3m 程度でも歩行が困難となる。		0.3m 程度でマフラーから水が逆流して、エンジンに水が浸入。オートマチック車ではクラッチ板の剥離がおきる。
0.50～ 0.80m 未満	膝までつかる深さ。 1983 年の日本海中部地震による津波では浸水深 70cm の津波で死者が出ている。	床上浸水。 0.5m 以上 1.0m 未満で木造建物は軽微破壊。	車が浮き、ドアの開閉が難しく、中に閉じ込められて車とともに流出され、危険な状態。
0.80～ 1.20 m 未満	胸までつかる深さ。	床上浸水。 1.0m 以上 2.0m 未満で木造建物は半壊。	
1.20～ 2.00 m 未満	足がつかない深さ。	床上浸水。 2.0m で1階軒下まで浸水する程度。 5.0m で2階軒下まで浸水する程度。 2.0m 以上で木造建物は全壊。	
2.00～ 5.00 m 未満			

<参考文献>

「津波・高潮ハザードマップ作成マニュアル(案)」津波・高潮ハザードマップ研究会事務局 2003

「浸水想定区域図作成マニュアル」国土交通省河川局治水課 2005

「津波災害予測マニュアル」財団法人日本気象協会 1997

「利根川の洪水」利根川研究会 1995

「国土交通省 九州地方整備局 HP」<http://www.qsr.mlit.go.jp/kozui/main2.htm>

第Ⅱ編 津波の予測および被害想定

1. 注意点

本浸水予測図は、「対馬海峡東の断層」「周防灘断層群主部」「雲仙地溝南縁東部断層帯と西部断層帯の連動」で地震が発生した場合に、予測される浸水状況を示したものです。

実際にこれらの地震が発生した場合には、潮位や震源の位置などが想定と異なる場合があります。そのため、浸水状況は変わることがあります。

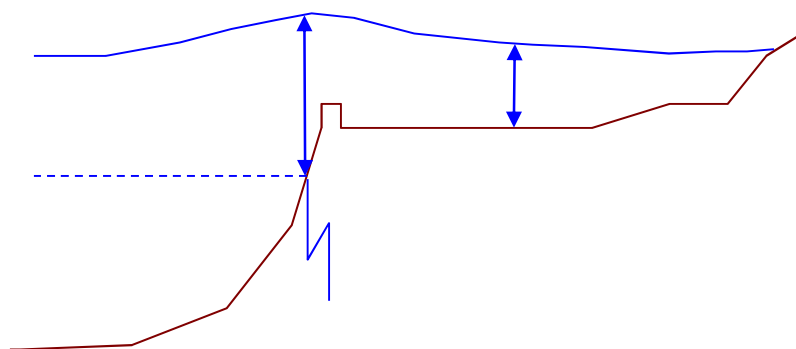
浸水予測は、数値シミュレーションにより行っています。計算条件は次のとおりです。

- ・ 数値シミュレーションは、福岡県全体を 10m 間隔にメッシュ化して行っています。そのため、10m よりも小さい規模の地形的特徴は反映されていません。
- ・ 計算では主要な河川は地形として考慮していますが、その他の中小河川は考慮していません。実際の津波の場合には、そのような中小河川からの流入も考えられますので、注意してください。
- ・ 本計算では海岸堤防や護岸を考慮しており、水門や陸閘は閉じた状態としています。
- ・ 潮位は、県土周辺の沿岸部の観測地点や港の潮位資料を参考として、同じ程度の潮位が観測されている地域をひとつの範囲にまとめ、その範囲毎に潮位を設定しています。

2. 浸水深さについて

浸水深さは、陸地で最も水位が高くなった時の津波の水面の高さを、その場所の地面から測った値です。

なお、最大津波高は、海岸線において最も潮位が高くなった時の水面(最大水位)を、基準面から測った高さです。この基準面は、津波が無かった場合の潮位面としています。



3. 河川や海岸に接したメッシュについて

本浸水予測では 10m メッシュで地形の標高をモデル化して計算を行っています。そのため、河川や海岸に隣接したメッシュでは、陸地に一部入り込んでいた場合であっても、標高が河床や海底面の高さに近いレベルに(陸地よりも低く)設定されている場合があります。その場合は浸水深が大きく表示されています。

5. 浸水リスクへの備え

写真 5-1,2



写真 5-1 有明海沿岸の堤防
堤内地と堤外地の地盤の標高差は
ほとんどない



写真 5-2 有明海の堤内地の状況
水面が高く、地表面との比高がわずか
である

図 5-1

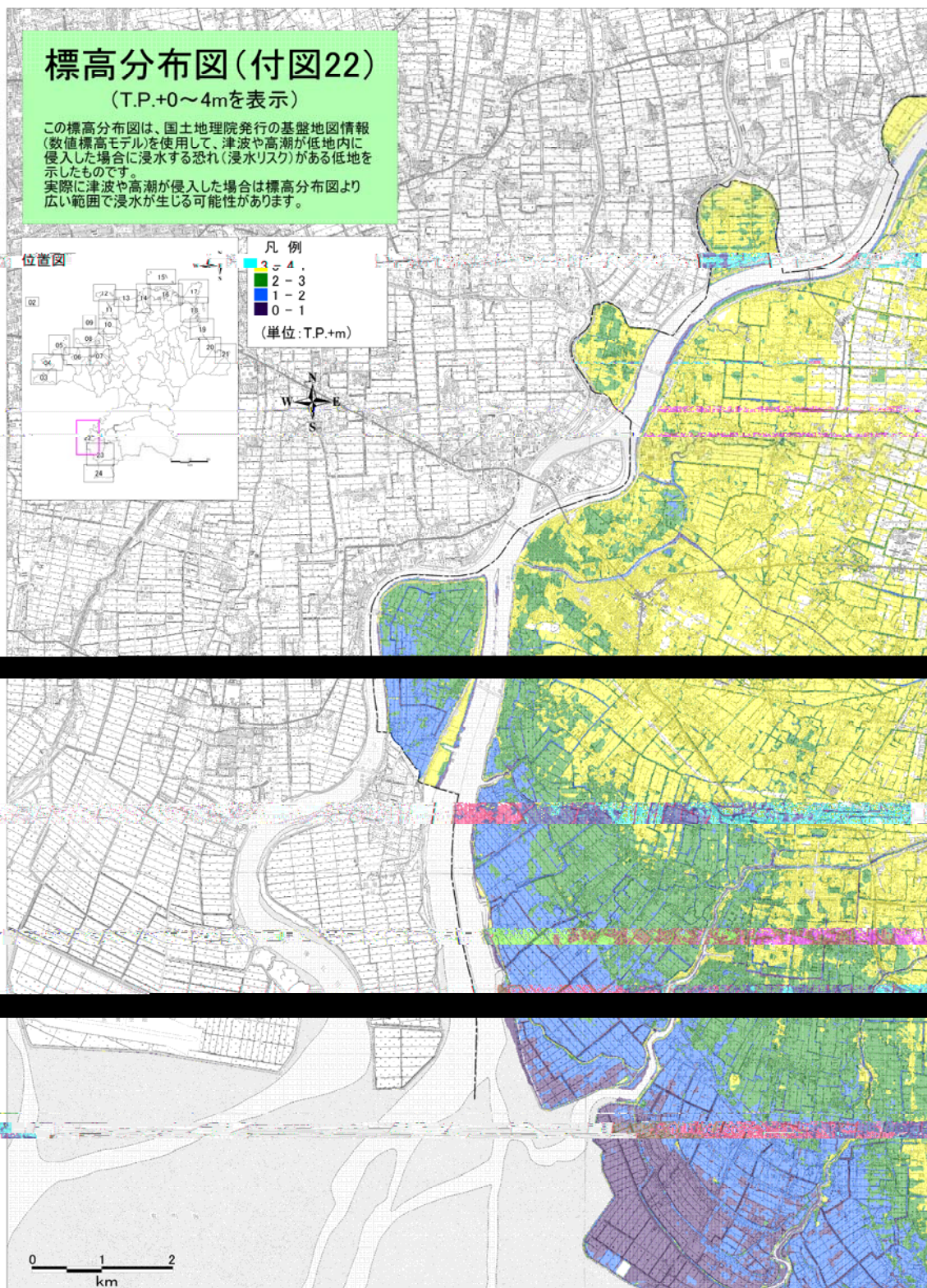


図 5-1 標高分布図の例